

Tabelle 2

Untersuchung von Abschlammölen und benzolhaltigen Filtraten  
aus Abschlamm auf ihren Asphaltgehalt.

Kerkunft	Pöllitz		Gelsenberg		Scholven	
Eingang	18.2.42	18.2.42	7.3.42	7.3.42	9.3.42	9.3.42
Menge ca	500 g	3 Ltr	200 g	2 Ltr	200 g	2 Ltr
Bezeichnung	Abschlammöl angeliefert	Öl <sup>1)</sup> in Lu isoliert aus Benzol- Filtrat	Abschlammöl angeliefert	Öl <sup>1)</sup> in Lu isoliert aus Benzol- Filtrat	Abschlammöl angeliefert	Öl <sup>2)</sup> in Lu isoliert aus Benzol- Filtrat
✓ s-Asphalt (mit Rhenania Ben- zin bestimmt)	18,3	17,9	14,0	13,7	28,1	-

1) Aus den Benzolfiltraten von Pöllitz und Gelsenberg wurden jeweils 21 % Abschlammöl isoliert.

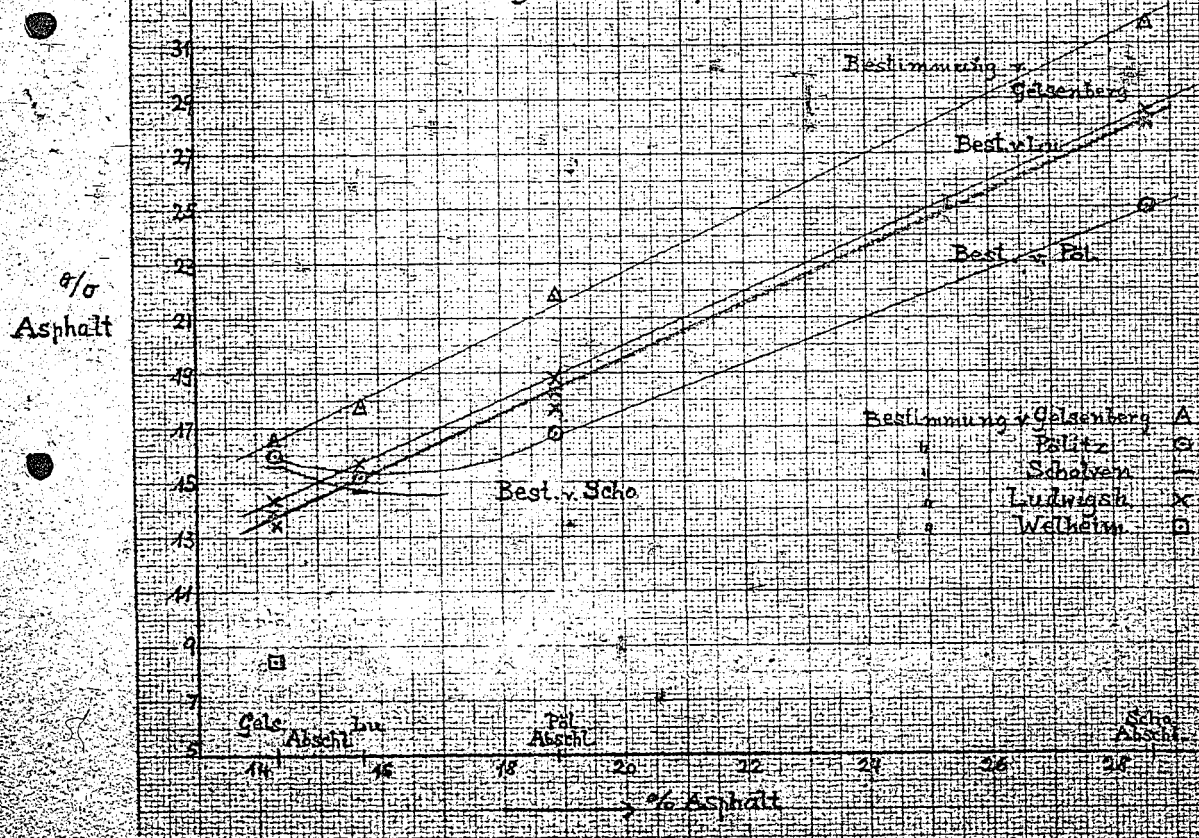
2) Selbst nach Abdestillation von 96 % war der Rückstand noch benzolhaltig: deshalb nicht untersucht.

Ring-Untersuchung  
von Abschlammproben

Tafel 1

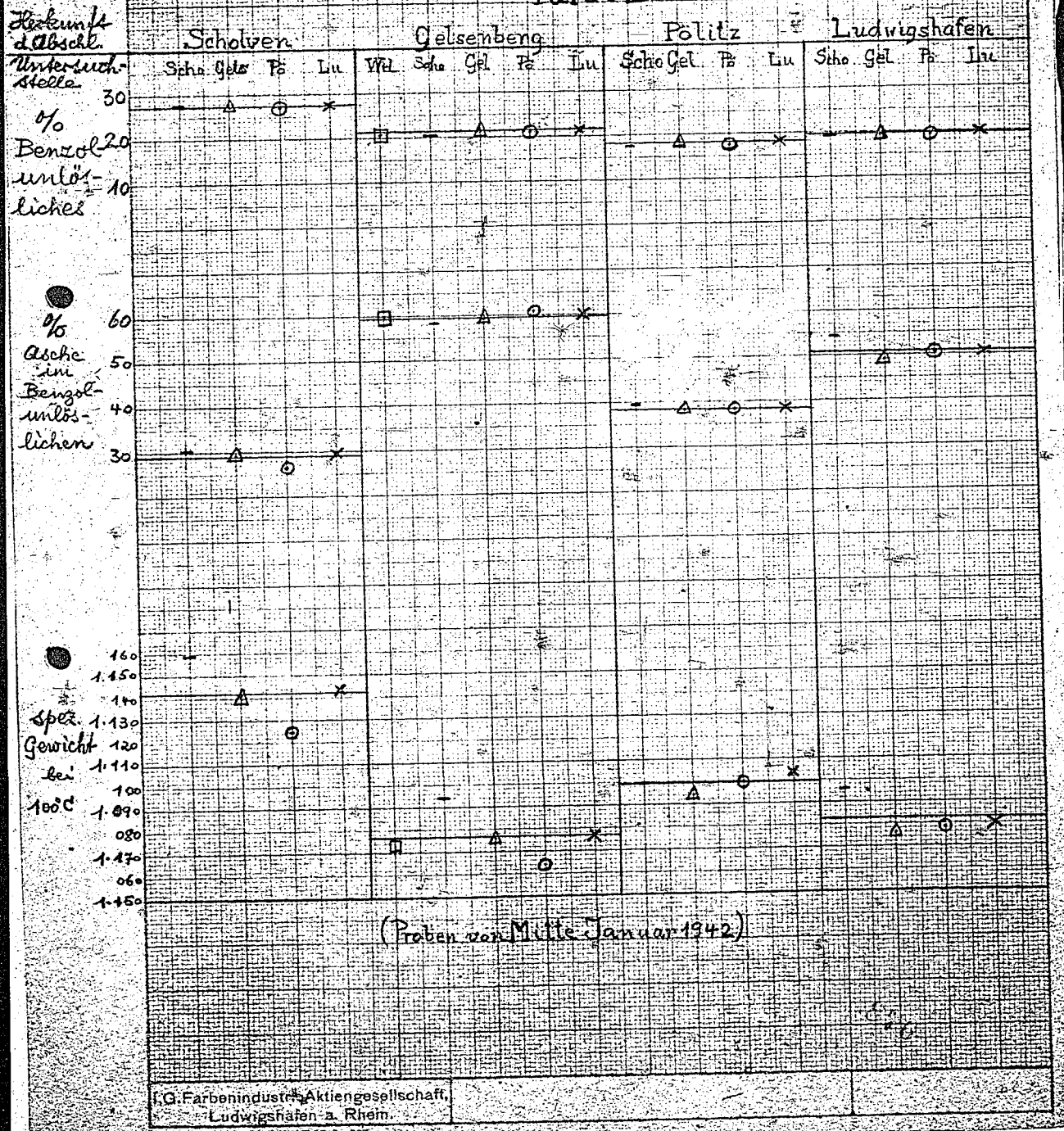
(Proben von Mitte Januar 1942)

Streuungen der Asphaltbestimmungen



Ringuntersuchung  
von Abschlammproben

Tafel 2.

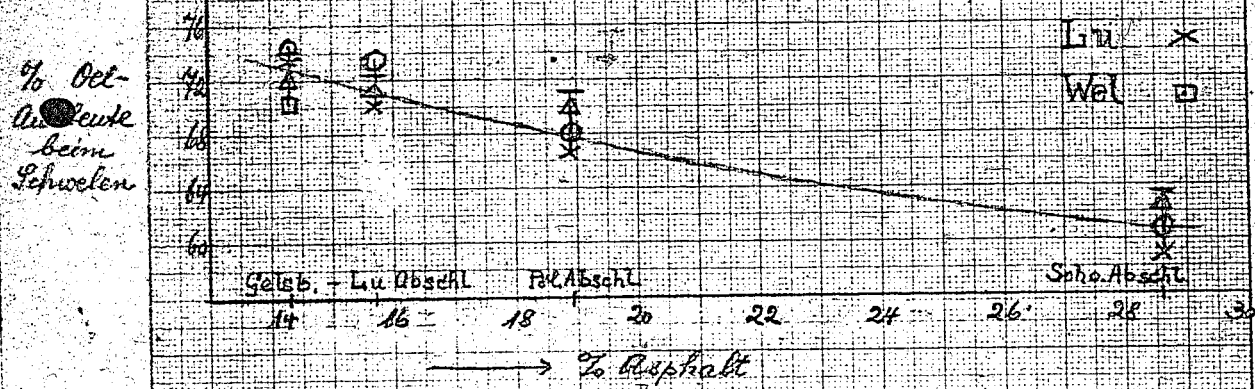


Ring-Untersuchung  
von Abschlammproben

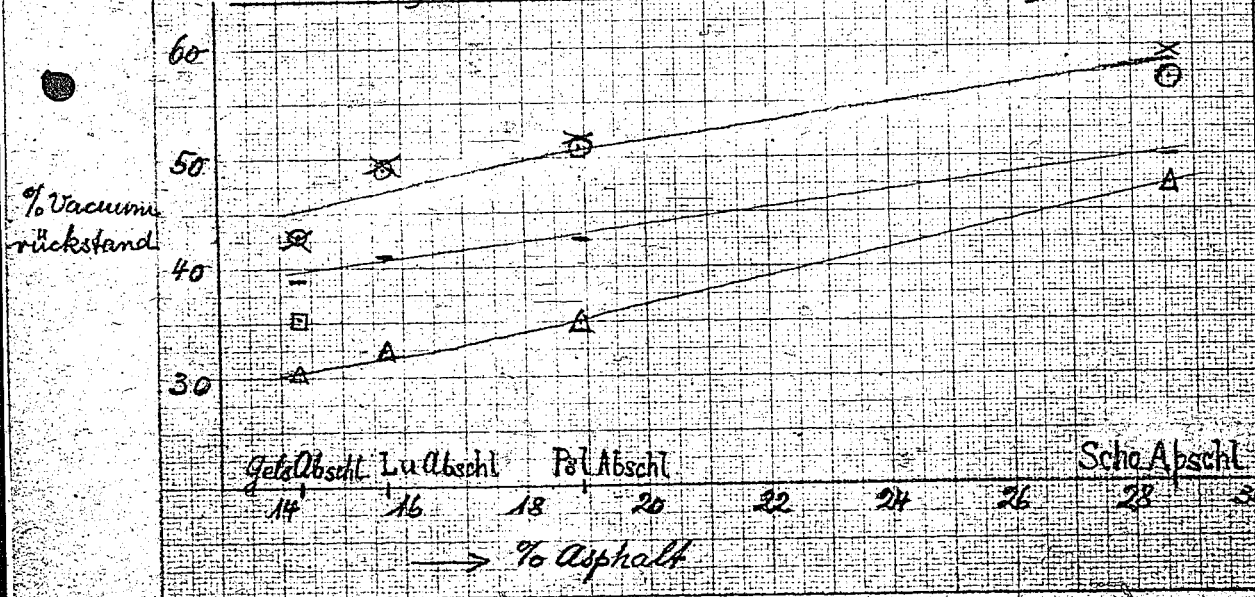
Tafel 3

(Proben von Mitte Januar 1942)

Streuung der Öl ausbeute



Streuung der Vakuumrückstandbestimmung



Liquid Phase 119

Sumpfphaskontakte im Drehaltoklaven.

Transkript

Zusammenfassung.

Die molybdänhaltigen Kontakte sind die aktivsten und stehen somit an der Spitze. Günstige Träger für Molybdän sind neutralisierte Grude, reaktionsfähige Tonerde, Terrana und Gasrūß. Nicht neutralisierte Grude und die ebenfalls alkalische Bayarmasse sind für Molybdän ungünstiger. Wasserdampfaktivierte Grude ist besser als nichtaktivierte Grude (Generatorstaub).

Bei Eisenkontakten bringt Neutralisation der Grude mit Schwefelsäure keine Verbesserung. Grudeeisensulfat wird durch Auftränken der äquivalenten Menge NaOH verbessert,<sup>1)</sup> während sauer reagierende Kontakte wie z.B. Fluoride oder Chloride auf Terrana oder Grude durch Natronlaugezugabe ungünstiger werden; auch durch Natriumsulfid tritt eine geringe Verschlechterung in Spaltung und Asphaltreduktion ein.

Beim Grudeeisentitan kontakt bringt geringer Chlorzusatz bzw. Flüssig ure Verbesserung.

Von den molybdänfreien Kontakten kommen gefälltes FeS, 10% Fe<sub>2</sub>O<sub>3</sub> auf 90% neutralisierter Grude, Grudeeisentitan + 0,1% Chlor, Al-Silikat + 0,2% Chlor, Snox + 0,75% Chlor und Grude + 25 FeS + 25 ZnS nahe an die Aktivität von Grude-molybdän heran. Fast ebenso gut waren Terrana HF beh. + 20 ZnS + 1% MoO<sub>3</sub> und gebrauchter 6434. Gefälltes Eisensulfid kann durch geringe Chlorzugabe noch verbessert werden.

Entzersetzung der Grude gibt Vorteile besonders im Festeabbau

1) Vermutlich beruht diese Verbesserung nicht auf einer Alkalisierung, sondern darauf, daß das Eisensulfat durch die NaOH auf der Grude zu Eisenhydroxyd umgesetzt wird oder entsprechend der technischen Herstellung von Na<sub>2</sub>S die NaOH mit FeSO<sub>4</sub> in Na<sub>2</sub>SO<sub>4</sub> übergeht, das in Gegenwart von Eisen leicht zu Natriumsulfid reduziert wird.

und Spaltung; Holzkohle gibt hohe Spaltung, war aber im Festeabbau ungünstig.

Cerchlorür, Eisenfluorid und Zinkfluorid sind etwa gleich zu bewerten, während Aluminiumfluorid etwas schlechter ist. Die fluorhaltigen Kontakte geben gute Spaltung und geringere Vergasung ähnlich wie chlorhaltige.

Silikatkontakte geben Anfallprodukte, die im Schwerölbereich meist höher im spez. Gewicht liegen, was auf Polymerisation oder Dehydrierung hindeuten kann.

Elementarer Schwefel, der bei neutral oder alkalisch reagierenden Kontakten vorteilhaft ist, gibt bei stark sauren Kontakten wie Fluoriden Polymerisation.

Terrana und insbesondere Magnesiumsilikat sind für Eisenkontakte als Träger etwas ungünstiger als z.B. Grude.

Mit Braunkohlenteeren, Krackrückständen und Erdölrückständen liegen nur wenig vergleichbare Versuche vor. Bei diesen Produkten sind die Unterschiede zwischen den einzelnen Kontakten nicht so ausgeprägt wie bei Steinkohleprodukten. Für derartige Produkte wird es daher eher möglich sein, molybdänkontakte durch molybdänfreie voll zu ersetzen.

ges. Graßl

Anlage

I.) Sumpfphasekontakte geordnet nach abnehmender Aktivität.

Die Mehrzahl dieser hier aufgeführten Kontakte wurde in Drehautoklaven mit Steinkohlenpulch - Teergemischen geprüft und die Benötigung geschah nach ihrem Verhalten hinsichtlich Asphaltreduktion, Spaltung, Festearabbau und Vergasung.

	Note
1.) K 5475 Ch 16 Aktiv. Grude 100% $H_2SO_4$ neutr. + 2% $MoO_3$	ca 95 - 100
2.) K 7690 Reaktionsfähige Tonerde + 6% $MoO_3$	" 95 - 100
3.) K 7704 " " " + 2% $MoO_3$	" 85
4.) K 8240 Gasruf " " " + 2% $MoO_3$	" 85
5.) K 5475 Ch 12 Generatorstaub 100% $H_2SO_4$ neutr. + 2% $MoO_3$	" 80 - 85
6.) K 1613 Gefalltes FeS	" 75
7.) K 8207 Ch 12 Generatorstaub 90% $H_2SO_4$ neutr. + 10% $FeF_3$	" 75
8.) K 7509 Ch 12 Generatorstaub + 7% $FeSO_4$ + 5% $TiOSO_4$ + 0,1% Cl	" 75
9.) Z 5146 + Cl 0,06% SnOx + 0,75% Cl	" 75
10.) K 7473 Ch 12 Generatorstaub 25% FeS + 25% ZnS	" 75
11.) K 7421 Terrana HF + 20% ZnS + 1% $MoO_3$	" 75
12.) K 6434 gebraucht	" 75
13.) K 6752 Al-silicat + 0,2% Chlor	" 75
14.) K 7764 Ch 12 Generatorstaub 40% FeS + 10% ZnS	" 70
15.) K 7997 Carchlorür	" 70
16.) K 7868 Al-silicat + 7% FeS + 5% ZnS	" 70
17.) K 8016 Fe-fluorid	" 70
18.) K 7509 Ch 12 Generatorstaub + 7% $FeSO_4$ + 5% $TiOSO_4$ + 2% alkal. S.	" 70
19.) K 8088 Zn-fluorid	" 70
20.) K 8198 Ch 12 Generatorstaub 14% $FeSO_4$ + 5% $TiOSO_4$	" 70
21.) K 7855 Ch 12 Generatorstaub entascht + 7% $FeSO_4$ + 5% $TiOSO_4$	" 70
22.) K 7509 Ch 12 Generatorstaub + 7% $FeSO_4$ + 5% $TiOSO_4$ + 10% HF	" 70
23.) K 7509 Ch 12 Generatorstaub + 7% $FeSO_4$ + 5% $TiOSO_4$	" 65
24.) K 8069 Ch 12 Generatorstaub + 10% $FeSO_4$ + 5,3% NaOH	" 65

25.) K 8007 Terrana + 20 FeF <sub>3</sub> (Anic. Kontakt)	ca	65
26.) K 7677 Bayernasse HF + 10 Ti O <sub>2</sub>	"	65
27.) K 8004 Al-Fluorid	"	65
28.) K 7858 Al-silikat + 7 FeSO <sub>4</sub> + 5 TiOSO <sub>4</sub>	"	65
29.) K 7860 Al-silikat + 7 Fe <sub>2</sub> O <sub>3</sub> + 5 ZnO	"	65
30.) K 7566 Bayernasse HF + 6 Pb-acetat	"	65
31.) K 8063 Raseneisenerz + 10 HF	"	60
32.) K 7853 Holzkohle 7 FeSO <sub>4</sub> + 5 TiOSO <sub>4</sub>	"	60
33.) K 7506 Terrana HF + 60% ZnS	"	60
34.) K 8045 Italienischer Bauxit + 10 FeSO <sub>4</sub>	"	55
35.) K 7886 Terrana + 7 FeSO <sub>4</sub> + 5 TiOSO <sub>4</sub>	"	55
36.) K 8091 Akt. Tönerde HF behandelt	"	55
37.) K 7880 Mg-Silikat + 7 FeSO <sub>4</sub> + 5 TiOSO <sub>4</sub>	"	50
38.) K 6612 Ch 12 Generatorstaub + 10% FeSO <sub>4</sub>	"	50
39.) K 7689 Aktivkohle v Dr. Anthes + 10 FeSO <sub>4</sub>	"	50
40.) K 7567 Ch 12 Generatorstaub + 2% Sn (NH <sub>4</sub> -oxalat)	"	40
41.) K 6108 Terrana	"	35
42.) K 7844 Al-Laktat	"	25

III.) Nach Trägern geordnet.

A. Grudekontakte.

				Note
K 5475	Ch 16 Aktiv.	Grude 100% $H_2SO_4$ + 2% $MoO_3$		ca 95 - 100
K 5475	Ch 12 Generatorstaub	100% $H_2SO_4$ neutr. + 2% $MoO_3$		" 80 - 85
K 8207	" 12	" 90% $H_2SO_4$ neutr. und 10% $FeF_3$		" 75
K 7509	" 12	" + 7% $FeSO_4$ . 5 $TiOSO_4$ + 0,1% Cl		" 75
K 7473	" 12	" + 25% FeS + 25% ZnS		" 75
K 7764	" 12	" + 40% FeS + 10% ZnS		" 70
K 7509	" 12	" + 7% $FeSO_4$ . 5 $TiOSO_4$ + 2% alkal. S		" 70
K 8198	" 12	" + 14% $FeSO_4$ . 5 $TiOSO_4$		" 70
K 7855	" 12	" entascht 7% $FeSO_4$ . 5 $TiOSO_4$		" 70
K 7509	" 12	" + 7% $FeSO_4$ . 5 $TiOSO_4$ + 10% HF		" 70
K 7509	" 12	" + 7% $FeSO_4$ . 5 $TiOSO_4$		" 65
K 8009	" 12	" + 10% $FeSO_4$ . 5,3 NaOH		" 65
K 6612	" 12	" + 10% $FeSO_4$		" 50
K 7567	" 12	" + 2% Sn als Ammon- oxalat		" 40

B. Terrana und Silikate.

K 6434	gebraucht		ca 75
K 7421	Terrana HF + 20% ZnS + 1% $MoO_3$		" 75
K 6752	Al-silikat + 0,2% Chlor		" 75
K 7868	Al-silikat + 7% FeS + 5% ZnS		" 70
Z 8007	Terrana + 20% $FeF_3$ (Anic, Kontakt)		" 65 - 70
K 7858	Al-silikat + 7% $FeSO_4$ . 5 $TiOSO_4$		" 65
K 7860	Al-silikat + 7% $Fe_2O_3$ . 5% ZnO		" 65
K 7504	Terrana HF + 60% ZnS		" 60
K 7886	Terrana 7% $FeSO_4$ . 5 $TiOSO_4$		" 55
K 7880	Mg-silikat 7% $FeSO_4$ . 5 $TiOSO_4$		" 50
K 6108	Terrana		" 35

882

- 2 -

C. Tonerde.

K 7690 Reaktionsfähige Tonerde + 6% MoO <sub>3</sub>	ca 100
K 7704 " " + 2% MoO <sub>3</sub>	" 85
K 8091 aktive Tonerde HF behandelt	" 55

D. Eisenoxyde.

K 7677 Bayermasse HF behandelt + 10 TiO <sub>2</sub>	Ca 65
K 7566 Bayermasse HF behandelt + 6 Pb acetat	" 65
K 8063 Rasensaisenerz + 10 HF	" 60
K 8045 Italienischer Bauxit + 10 FeSO <sub>4</sub>	" 55

E. Andere Träger.

K 8240 Gasrus + 2% MoO <sub>3</sub> Ti	ca 85
K 7853 Holzkohle + 7 FeSO <sub>4</sub> + OSO <sub>4</sub>	" 65
K 7689 Akt. Kohle v. Dr. Anthes + 10 FeSO <sub>4</sub>	" 50

F. Ohne Träger.

K 1613 gefälltes FeS	ca 75
K 5146 0,06% SnO <sub>x</sub> + 0,75% Chlor	" 75
K 7997 Cerchlorür	" 70
K 8016 Eisenfluorid	" 70
K 8088 Zn-fluorid	" 70
K 8004 Al-fluorid	" 65
K 7844 Al-Laktat	" 25

3

4

7

4

883

Dr. 1857. Frankfurter

Ludwigshafen, den 19. Mai 1943/Schr.

Zurück an  
Verzinner Dr. Dr. Pier

Ausgabe 1000 S.  
Liquid Phase #120

Betr.: Abschlamm-Regenerator

In der Anlage 1 und 2 Fälle eines Abschlamm-Regenerators für die Oberschlesien-Vermahlungsmasse durchgerechnet.

- 1.) Der Dichtkreis wird in einen Regenerator aufgeheizt, der aus 2 nebeneinanderliegenden und verschweißten Rohren (70 mm) besteht, genährt einem Vorschlag von Herrn Dr. Josenhaus.
- 2.) Es wird eine Wärmeflüssigkeit verwandt, die in einem das Hochdruckrohr ausschließenden Heißdurchgang strömt; es wird also zunächst die Wärme des Abschlammes von dieser Wärme flüssigkeit (Öl) abgenommen und dann wird diese Wärme in einem 2. gleichen System auf den Kreis übertragen. In Anlage 2 ist der  $\lambda$ -Wert für Vinyl aus dem Literatur angegeben ermittelnt. Damals muß Vinyl als Wärme flüssigkeit ausreichen. Es kann noch nicht angegeben werden, welche Flüssigkeit den hohen Wert von  $\lambda = 500$  (in Anlage 1 verwendet) ergibt.
- 3.) Der gleiche Fall wie 2. nur wird der Abschlammmattherg. gebracht auf 262°C des Falles 1 um direkt verglichen zu können; der Kohlebogen wird dementsprechend höher aufgeheizt.

Bezüglich der Berücksichtigung der Abstrahlverluste sei vermerkt, dass in jedem Falle 200'000 Kcal/h eingesetzt wurden. In Wirklichkeit dürften die Abstrahlverluste wesentlich höher sein.

gez. Wilde Scheppert

2 Anlagen

Verteilung

Herren Dr. Simon  
Rauchle  
Gesper  
Balbach  
Lauer  
Dr. Wilde  
Scheppert

97062

Ludwigshafen a.Rhein, den 17.Mai 1943/Schr.

## Abschlammkühler

Rohrabmessung Fall	2 Rohre 70 φ 1	Mantelrohre 70/102-137/146 2 (mit Hilfsflüssigkeit)	Mantelrohre 70/102-137/146 3 (mit Hilfsflüssigkeit)			
Reg. Hinweg Wärmewert $\alpha$ - Wert Gewicht (gesamt) Volumen Wichte Geschwindigkeit $\Delta p$ je m Rohrz	t/h $m^3/h$ Kcal/ $^{\circ}C$ Kcal/ $^{\circ}C, h, m^2$ t/h $m^3/h$ $kg/m^3$ $m/s$ at	20 (Brei) 4000 (Gas) x 11 920 300 21 $22 + 12.3 = 34.3$ 615 2.47 0.0107	20 (Öl Brei) 4000 (Gas) 11 920 300 21 $34.3$ 615 2.47 1.58	20 (Öl) 12 000 500 20 22 900 1.58	20 (Brei) 4000 (Gas) 11 920 300 21 22 34.3 615 2.47 2.17	27 (Öl) 16 200 500 27 30 900 2.17
Reg. Rückweg Wärmewert $\alpha$ - Wert Gewicht Volumen Wichte Geschwindigkeit $\Delta p$ je m Rohr	t/h Kcal/ $^{\circ}C$ Kcal/ $^{\circ}C, m^2, h$ t/h $m^3/h$ $kg/m^3$ $m/s$ at	32 (Abschlamm) 18 550 400 32 35.5 900 2.55 0.0167	20 (Öl) 12 000 500 20 22 35.5 900 1.58	32 (Abschlamm) 18 550 400 32 35.5 900 2.55 2.17	27 (Öl) 16 200 500 27 30 900 2.17	32 (Abschlamm) 18 550 400 32 35.5 900 2.55 0.0167
Temperaturbild $\Delta t$ Übertrag.Wärme Abstrahlung $K$ - Wert Fläche Rohrlänge	$^{\circ}C$ $^{\circ}C$ 103 Cal/h Kcal/ $^{\circ}C, h, m^2$ $m^2$ m	262 < 420 100 > 330 122 2 740 200 147 . 0,60 = 87 260 1 200	170 < 340 100 > 252 77 1 840 200 160 150 700	300 < 420 170 > 340 103 2 040 200 180 112 510	180 < 350 100 > 315 54 2 040 200 160 112 510	262 < 420 180 > 350 76 2 750 200 180 200 930
$\Delta p$ Hinweg xx) $\Delta p$ Rückweg	at at	15 23				

xx) + 15 % für Kammer

x) bei 8000  $m^3/h$  Gas  $\Delta p$  um ca. 50 % größer.

Ketwigshafen a.Rh., den 17.5.1943/Schr.

Berechnung der Wärmeübertragungsanzahl Vinyl-Rohr.

$$\lambda \cdot a = 0.024 \cdot \left\{ \frac{w \cdot d}{\eta \cdot c} \right\}^{0.6} \cdot \left\{ \frac{\eta \cdot F \cdot \alpha}{d} \right\}^{0.57}$$

Für Rundrohre 76/202 - 137/246 wird der freie  
Querschnitt  $F = 0.00697 \text{ m}^2$ .

Für  $20 \text{ m}^2/\text{h}$  Vinyl die Geschwindigkeit  $w = 0.85 \text{ m/s}$

$$d = 0.157 - 0.102 = 0.055 \text{ m}$$

$$\eta = 0.117$$

Kcal/ $^{\circ}\text{C}$ , m, h

$$\eta = 0.117/3600 = 0.325 \cdot 10^{-4}$$

Kcal/ $^{\circ}\text{C}$ , m, s

$$c = 0.300$$

$\text{kg/m}^3$

für  $200^{\circ}\text{C}$

$$\alpha = 0.55$$

Kcal/kg,  $^{\circ}\text{C}$

$$\eta = 60 \cdot 10^{-6}$$

$\text{kg} \cdot \text{s} / \text{m}^2$

$$\chi = \frac{0.117}{0.025} \cdot 0.024 \cdot \left( \frac{0.85 \cdot 0.055 \cdot 0.300}{40 \cdot 10^{-6} \cdot 10} \right)^{0.6} \cdot \left( \frac{40 \cdot 10^{-6} \cdot 10 \cdot 0.55}{0.325 \cdot 10^{-4}} \right)^{0.57}$$

$$= 0.08 \cdot 1150 \cdot 6700 \cdot 0.85 = 6,8 \cdot 0.57$$

$$= 0.08 \cdot 1150 \cdot 2,5 = 187 \text{ Kcal}/^{\circ}\text{C},$$
  
$$\text{m}^2, \text{h}$$

Hochdruckversuche  
Lu 558

18. Mai 1943 He/Fu

Zurück an  
Notiz Vorzimmer Dir. Dr. Pier

Abschlammbegeneration, Modellversuche.

Es wurden 6 Modelle gebaut, deren Querschnitt die Abbildungen 1-6 zeigen.

- Abbildung 1: 2 konzentrische Rohre  
" 2: Zwillingsanordnung  
" 3: Drillingsanordnung  
" 4: 2 Rohre in Aluminium eingegossen  
" 5: 2 Rohre in Öl als Wärmeüberträger  
" 6: 4 Rohre in Blei eingegossen.

Bei allen Modellen betrug die Länge der wärmeübertragenden Teile 2 m. Es wurde Wärme von warmem auf kaltes Wasser übertragen. Alle Modelle wurden im Gegenstrom betrieben. Die Wassermengen wurden am Auslauf durch Abstoppen einer Menge von jeweils 20 Liter gemessen. Die Temperaturmessungen geschahen mit Thermometern, die in  $1/10^{\circ}\text{C}$  eingeteilt waren. Die Meßwerte, deren Ergebnisse in den Abb. 1-6 zusammengestellt sind, waren im einzelnen folgende:

1. Anordnung (2 konzentrische Rohre; Abb. 1)

Rohrdurchmesser 6 x 14 bzw. 17 x 33 mm

Wassermengen:

- a) Warm-Wasser  $Q_W = 295 \text{ Ltr/h}$  (durch den Ringraum)  
b) Kalt-Wasser  $Q_K = 375 \text{ Ltr/h}$  (durch das innere Rohr)

Geschwindigkeiten:

- a) Warm-Wasser  $V_W = 1,12 \text{ m/s}$   
b) Kalt-Wasser  $V_K = 3,69 \text{ "}$

Temperaturen:

- a) Warm-Wasser 95,6  $\rightarrow$  67,6  
b) Kalt-Wasser  $53,6 \leftarrow 13,2 \Delta t = 20,4^{\circ}\text{C}$   
62,0 54,4

mittl. Temperatur-Differenz  $\Delta \bar{t} = 58,2^{\circ}\text{C}$   
Innenfläche des inneren Rohres:  $F = 3,77 \cdot 10^{-2} \text{ m}^2$

Wärmedurchgangszahl

$$k = \frac{20,4 \cdot 375}{3,77 \cdot 10^{-2} \cdot 58,2} = 3480 \frac{\text{kcal}}{\text{m}^2 \cdot \text{h} \cdot ^{\circ}\text{C}}$$

887

- 2 -

Kontrollmessung

$$Q_W = 312 \text{ Ltr/h}$$

$$Q_K = 371 \text{ "}$$

$$V_W = 1,19 \text{ m/s}$$

$$V_K = 3,65 \text{ "}$$

Temperaturen:

$$97,3 \longrightarrow 70,5$$

$$\underline{34,8} < \underline{13,2} \quad \Delta t = 21,6$$

$$62,5 \quad 57,3$$

$$\alpha_m = 59,9$$

$$k = \frac{371 \cdot 21,6}{3,77 \cdot 10^{-2} \cdot 59,9} = 3560$$

Durchrechnung: Für  $V_W = 1,12 \text{ m/s}$  ergibt sich  $\alpha_W = 6800$

$$V_K = 3,69 \text{ " } \alpha_K = 14000$$

Der Wärmewiderstand eines dickwandigen Rohres ist

$$\frac{1}{k} = \frac{1}{\alpha_K} + \frac{\frac{d_1}{2} \cdot \ln \frac{d_2}{d_1}}{\lambda} + \frac{1}{\alpha_W \frac{d_2}{d_1}}$$

wobei  $d_1$  bzw.  $d_2$  der Innen- bzw. Außendurchmesser des inneren Rohres ist.

Mit obigen -Werten ergibt sich daraus

$$\frac{1}{k} = \frac{1}{14000} + \frac{3 \cdot 10^{-3} \ln \frac{14}{6}}{\lambda} + \frac{1}{6800 \cdot \frac{14}{6}}$$

Hieraus ergibt sich  $\lambda = 17,4$ .

888

- 3 -

- 3 -

Bei der Rechnung sind Rostansätze und andere Verschmutzungen nicht berücksichtigt. Die dadurch bedingte Senkung des  $\lambda$ -Wertes der Anordnung kommt im Resultat durch einen zu kleinen  $\lambda$ -Wert zum Ausdruck. Auf Grund dieses  $\lambda$ -Wertes rechnen wir den  $k$ -Wert der Anordnung für Abschlamm und Dickbrei durch, wobei mit

$$\alpha_1 = 500 \text{ für Abschlamm}$$

und  $\alpha_2 = 250 \text{ " Dickbrei gerechnet wird.}$

Unter der Annahme, daß der Abschlamm durch das innere Rohr, der Dickbrei durch den Ringraum geführt würde, ist

$$\frac{1}{k} = \frac{1}{500} + \frac{3 \cdot 10^{-3} \ln \frac{14}{6}}{17,4} + \frac{1}{250 \cdot \frac{14}{6}}$$

$$= (2 + 0,146 + 1,71) \cdot 10^{-3} = 3,86 \cdot 10^{-3}$$

$$k = 259$$

2. Anordnung (Zwillingsanordnung, Abb. 2): 2 Rohre (10 x 18) beiderseits autogen miteinander verschweißt.

Wassermengen:

$$Q_w = 610 \text{ Ltr/h}$$
$$Q_K = 366 \text{ "}$$

Geschwindigkeiten:

a)  $v_w = 2,16 \text{ m/s}$

b)  $v_K = 1,295 \text{ "}$

Temperaturen:

$$60,2 \longrightarrow 57,5$$

$$16,9 <---- 14,8 \quad \Delta t = 4,1$$

$$41,3 \quad 42,7$$

$$889$$

$$N_m = 42$$

$$= \frac{366 \cdot 4,1}{6,28 \cdot 10^{-2} \cdot 42} = 568 (= 16\% \text{ der kons. Anordnung})$$

- 4 -

Kontrollmessung

$$Q_w = 261 \text{ Ltr/h}$$

$$Q_K = 610 \text{ "}$$

$$64,5 \longrightarrow 61,8$$

$$20,3 \leftarrow 14,8 \quad \Delta t = 5,5^\circ$$

$$44,0 \quad 47,0$$

$$\vartheta_m = 45,5$$

$$k = \frac{261 \cdot 5,5}{6,28 \cdot 10^{-2} \cdot 45,5} = 502$$

Für  $v_w = 2,16 \text{ m/s}$  ergibt sich  $\alpha_w = 11000$

und für  $v_K = 1,29 \text{ " " " } \alpha_K = 5400$

Für den Wärmeleitungswiderstand der Anordnung findet man aus der Analogie mit der elektrischen Kapazität zweier zylindrischer Leiter, die im Achsenabstand  $a$  voneinander liegen (s. Abb. 4 a und b)

$C = \frac{1}{2} C_1$  wenn mit  $C_1$  die Kapazität zweier konzentrischer Zylinder mit den Radien  $a$  und  $A$  bezeichnet wird.

Für den Wärmeleitwiderstand der konzentrischen Zylinder gilt

$$\frac{1}{R} = \frac{\ln \frac{a}{r}}{2 \pi k} i$$

der entsprechende Wärmeleitwiderstand der beiden parallelen Zylinder ist also

$$\frac{1}{R''} = \frac{\ln \frac{a}{r}}{\lambda} = \frac{d \cdot \ln \frac{2a}{d}}{\lambda}$$

Für den Wärmewiderstand der ganzen Anordnung rechnen wir mit

$$\frac{1}{R} = \frac{1}{\alpha_1} + \frac{1}{\lambda} \ln \frac{2a}{d} + \frac{1}{\alpha_2}$$

890

- 5 -

Hierin ist  $a = 2 \times 9 + 1 = 19 \text{ mm} = 19 \cdot 10^{-3} \text{ m}$

$$\frac{1}{\kappa} = \frac{1}{11000} + \frac{10^{-3} \cdot 2 \cdot 19 \cdot 10^{-3}}{\lambda} + \frac{1}{5400}$$
$$= 0,000091 + \frac{10^{-3} \ln 3,8}{\lambda} + 0,000185$$
$$= 0,000276 + \frac{10^{-3} \cdot 1,33}{\lambda} = 0,000276 + \frac{1,33 \cdot 10^{-3}}{\lambda}$$

Es ist also  $0,000276 + \frac{1,33 \cdot 10^{-3}}{\lambda} = \frac{1}{500}$

Hieraus ergibt sich

$$\lambda = \frac{1,33 \cdot 10^{-3}}{1,48 \cdot 10^{-3}} = 2$$

In diesem niedrigen  $\lambda$ -Wert kommt zum Ausdruck, daß an der Wärmeleitung nicht wie bei der elektrischen Kapazität der ganze umgebende Raum, sondern nur die Rohrwandungen und die mit Schweißmaterial ausgefüllten Zwischenräume beteiligt sind.

Unter Zugrundelegung der  $\alpha$ -Werte für Abschlamm und Dickbrei ergibt sich hieraus

$$\frac{1}{\kappa} = \frac{1}{500} + \frac{1}{250} + \frac{1,33 \cdot 10^{-3}}{9}$$
$$= (2 + 4 + 1,48) \cdot 10^{-3} = 7,5 \cdot 10^{-3}$$

$k = 133,5$  (= rd. 50 % des  $k$ -Wertes der konzentrischen Anordnung)

- 6 -

3. Anordnung (Drillingsrohr): 3 Rohre 10 x 18 autogen miteinander verschweißt (Abb. 3) (Warmes Wasser in den beiden Außenrohren, kaltes Wasser im mittleren Rohr).

Wassermengen  $Q_{W1} = 485 \text{ Ltr/h}$  (links)

$Q_{W2} = 442 \text{ "}$  (rechts)

$Q_K = 945 \text{ "}$

Geschwindigkeiten

$V_{W1} = 1,718 \text{ m/s}$

$V_{W2} = 1,568 \text{ "}$

$V_K = 3,35 \text{ "}$

Temperaturen

50,4  $\longrightarrow$  48,5

19,8  $\longleftarrow$  17,4  $\Delta t = 2,4$

50,4  $\longrightarrow$  47,5

30,6  $\longrightarrow$  30,9

bezw.

30,2

$\bar{v}_m = 30,55$

$k = \frac{945 \cdot 2,4}{6,28 \cdot 10^{-2} \cdot 30,55} = 1535$

Kontrollmessung

Wassermengen

$Q_{W1} = 482 \text{ Ltr/h}$

$Q_{W2} = 458 \text{ "}$

$Q_K = 937 \text{ "}$

892

- 7 -

Geschwindigkeiten

$$V_{W_1} = 1,705 \text{ m/s}$$

$$V_{W_2} = 1,55 \text{ "}$$

$$V_K = 5,32 \text{ "}$$

Temperaturen

$$63,3 \longrightarrow 59,1$$

$$20,8 \leftarrow 17,4 \quad \Delta t = 3,4$$

$$\underline{63,3 \longrightarrow 59,2}$$

$$42,5 \quad 41,75$$

$$\frac{\partial}{\partial t} = 42,1$$

$$k = \frac{937 \cdot 3,4}{6,28 \cdot 10^2 \cdot 42,13} = 1205$$

Umrechnung

Für obige Wassergeschwindigkeiten ergeben sich folgende  $\alpha$ -Werte

$$\alpha_1 = 8000 \quad \alpha_w = 7750$$

$$\alpha_2 = 7500 \quad }$$

$$\alpha_K = 9800$$

Die Wärmeübergangsflächen in den beiden warmen und im kalten Rohr verhalten sich wie 2:1.

Wird der Wärmeleitwiderstand

$$\frac{1}{k'} = \frac{\frac{d}{2} \ln \frac{d_a}{d}}{\lambda}$$

gesetzt, so ergibt sich für den gesamten Wärmeleitwiderstand

$$\begin{aligned} \frac{1}{k'} &= \frac{1}{2 \cdot 7750} + \frac{1}{9800} + \frac{10 \cdot 10^{-3}}{2} \cdot \ln \frac{38}{16} \\ &= 0,0645 \cdot 10^{-3} + 0,104 \cdot 10^{-3} + 255 \cdot 10^{-3} \cdot 1,33 \\ &= 0,169 \cdot 10^{-3} + \frac{6,65 \cdot 10^{-3}}{\lambda} = \frac{1}{1535} \quad 8,93 \\ \lambda &= \frac{6,65}{0,169} = \frac{22,2}{1535} \quad 14,5 \end{aligned}$$

- 6 -

Mit den für Dickbrei und Abschlamm geltenden  $\lambda$ -Werten errechnet sich hiermit für die beiden Möglichkeiten

1. Abschlamm außen

$$\frac{1}{\lambda} = \frac{1}{250} + \frac{1}{2.500} \quad \underline{\underline{6,65 \cdot 10^{-3}}} \quad \frac{1}{\lambda} = \frac{1}{2.250} + \frac{1}{500} \quad \underline{\underline{6,65 \cdot 10^{-3}}}$$

$$= (4 + 1 + 0,58) \cdot 10^{-3} = 5,58 \cdot 10^{-3} \quad = (2 + 2 + 0,58) \cdot 10^{-3} \\ = 4,58 \cdot 10^{-3}$$

$$\lambda = 179 \quad (= 70\%)$$

2. Abschlamm innen

$$\lambda = 218 \quad (= 64\%)$$

Die Ergebnisse der Messungen an den weiteren Modellen folgen.

ges. Romacher

Flor

894

Bild:

1

2

3

Ringraum	Innen warm-Wasser	Kalt-Wasser	Warm-Wasser	Kalt-Wasser	Maßst. 4.
1,12 m/sek.	3,69 m/sek.	2,16 m/sek.	1,23 m/sek.	1,64 m/sek.	3,35 m/sek.
gemessen $K = 3500$	$K = 568$ (16 %)			$K = 1335$ (38 %)	
$\delta_w = 6800$	$\delta_w = 11000$	$\delta_k = 5400$		$\delta_k = 7750$	$\delta_k = 9300$
berechnet $\lambda = 17,4$		$\lambda = 9$		$\lambda = 11,5$	
Dickkrei	Ausschlamm	Dickkrei	Ausschlamm	Dickkrei	Ausschlamm
mit $\lambda = 17,4$		mit $\lambda = 9$		mit $\lambda = 11,5$	
angenommen $\delta_2 = 250$	$\delta_1 = 500$	$\delta_2 = 250$	$\delta_1 = 500$	$\delta_2 = 250$	$\delta_1 = 500$
berechnet $K = 259$				$K = 179$ (17 %), Absch. inner	$K = 179$ (17 %), Absch. innen
				$K = 213$ (84 %)	$K = 213$ (84 %)

I. G. Farbenindustrie Aktiengesellschaft  
Ludwigshafen am Rhein

Tag: Name:

Maßst.

Modellversuche für K-Werte  
Urheberrechtschutz nach DIN 34

BK 1a 295 a

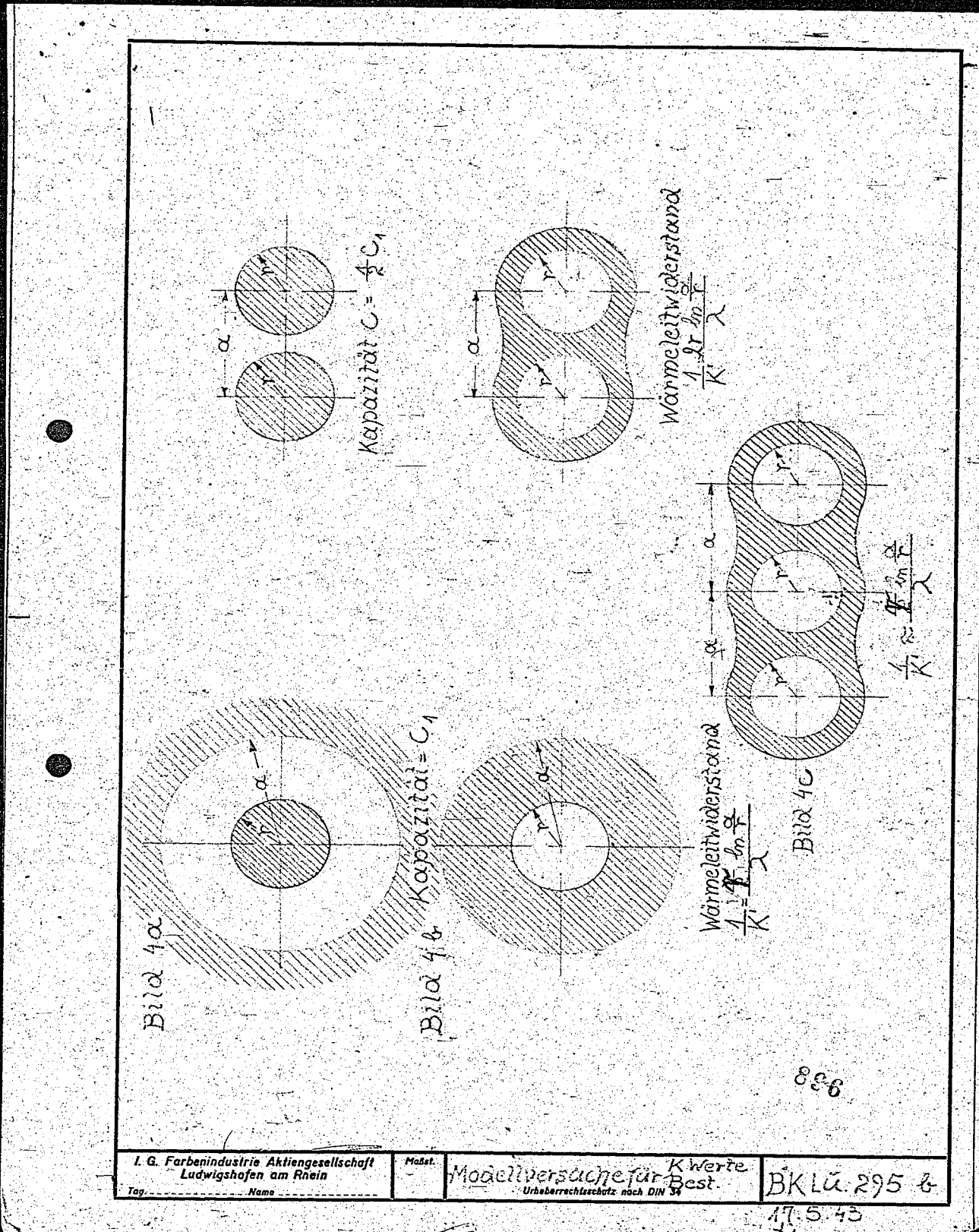
18.5.53

I.G. Farbenindustrie Aktiengesellschaft  
Ludwigshafen am Rhein  
Modellversuche für Best.  
Urhauerrichtschutz nach DIN 39  
K-Werte  
BKLÜ 295-6

Tag: Name:

Mabst.

17.5.43  
Klar



Dr. Dg. /3

①

Dr. Dürrfeld.

Ver suchen zum Abtreiben von Phenolen aus Schwefel und  
Abwässern durch Dampf.

837

Leuna Werke den 21. 9. 1931

Inhaltsübersicht.

	Seite
A. Einleitung: Zweck der Versuche.	3
B. Versuchsanordnung.	4
C. Füllung der Versuche und Ergebnisse.	
I. Entphenolung von 5000 mg/l Wasser auf 500 mg durch Dampf ohne Druck.	6
II. Entphenolung durch ein Dampf-Luftgemisch und durch Luft alleine.	7
III. Abtreibung durch Dampf unter Druck.	9
IV. Abtreibung von Phenol aus Wasser mit 1000 und 500 mg/l Anfangskonzentration durch Dampf-druck- los und unter Druck.	10
V. Zusammenstellung der Ergebnisse.	11
E. Kosten des Verfahrens.	15
F. Zusammenfassung.	16

### A. Einleitung: Zweck der Versuche

1.) Aus den Schmelzwässern und Abwässern der Hydrierung mit mehr als 4000 mg Phenol/l werden bislang die Phenole durch Extraktion mit Trikresylphosphat gewonnen. Künftig kann jedoch die Wirtschaftlichkeit der Phenolgewinnung, auch unter besten Betriebsbedingungen für die Herseburger Anlage in Frage gestellt sein, wenn Schwierigkeiten in gewinnbringendem Absatz des gewonnenen Öles einerseits oder ein Rückgang der anfallenden Phenolwässer andererseits eintreten würde. Es ist daher zweckmäßig, nach einem billigeren Mittel zur Phenolbeseitigung zu suchen.

2.) Die in der Hydrierung in großen Mengen (ca. 700 m<sup>3</sup>/Tag = 30 m<sup>3</sup>/h) anfallenden phenolhaltigen Abwässer niedriger Konzentration (ca. 600 mg Phenol/l) gehen bislang auf 2 Wege zur Halde. Etwa die Hälfte der Phenole wird an die Kesselhausasche beim Abdrücken der Asche auf die Halde (allerdings nur unvollkommen) gebunden; die andere Hälfte an den aus der Vergasung stammenden Braunkohlenstaub. Der Staub wird in Zukunft wegfallen, so daß große Mengen Phenol ungebunden zur Halde gehen. Auch für diese muß ein neuer Weg zur Beseitigung gefunden werden.

Die folgenden Versuche bauen daher auf einer Anregung von Herrn Dr. v. Staden auf, nach der der zur Wassergaserzeugung erforderliche Dampf vor dem Eintritt in die Generatoren zum Abtreiben der Phenole benutzt werden soll.

### B. Versuchsanordnung.

Es wurden zu den Versuchen Abtreibekolonnen verschiedener Abmessungen benutzt.

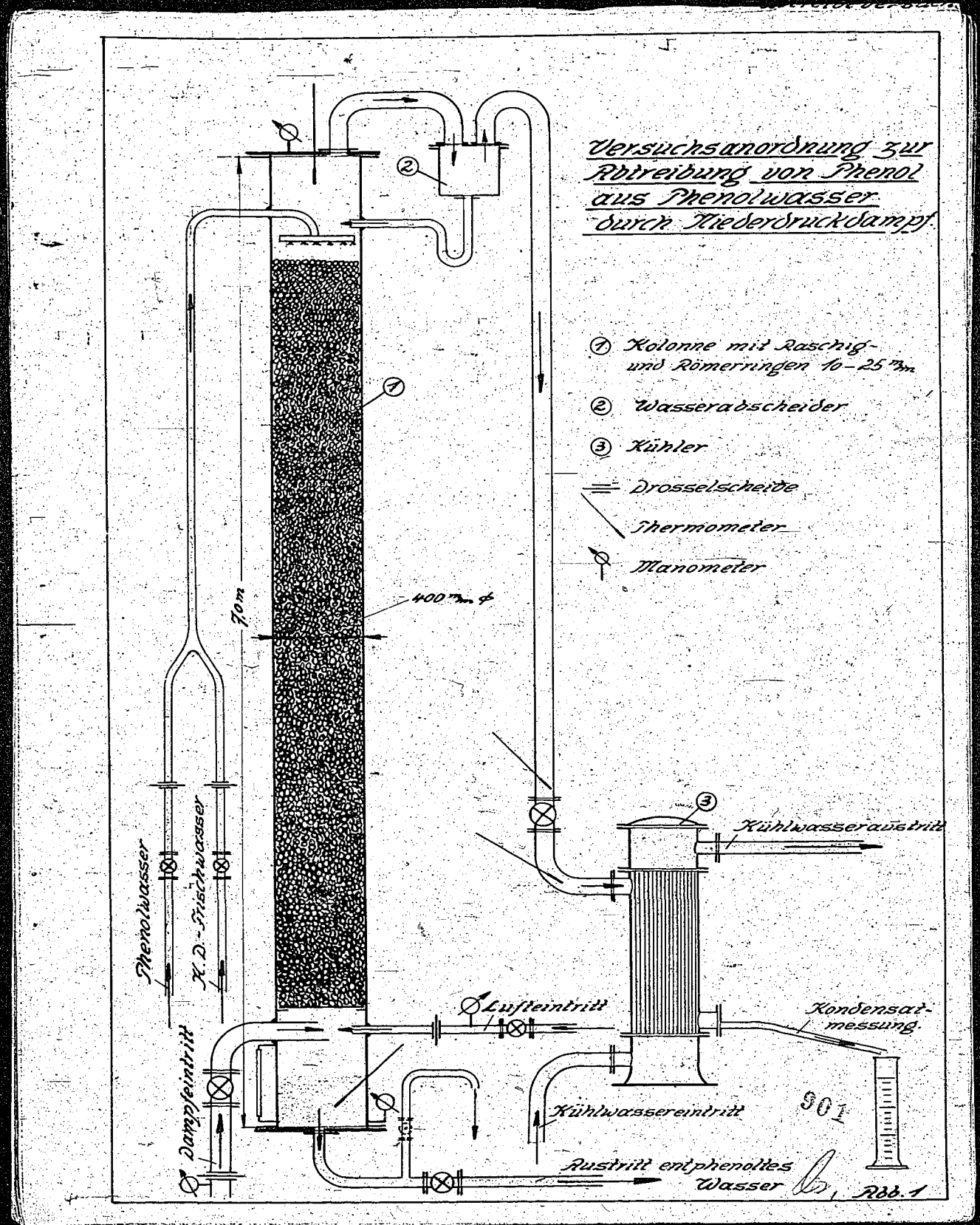
Kolonne 125 Ø 3 m hoch 10 - 15	m/m Römerringe
" 400 Ø 4 m "	35 x 35 m/m Raschigringe
" 400 Ø 4 m "	10 - 15 m/m Römerringe
"	25 x 25 m/m Raschigringe
" 400 Ø 7 m "	Füllung wie zuvor.
" 400 Ø 8 m "	" " "

Im Prinzip war jede Kolonne ein mit Ringen gefüllter Turm (Abb.1), in den das Schwelwasser oben eintrat, um unten mit Siedetemperatur auszufließen. Der Dampf strömte ihm entgegen, erwärmte das Wasser, deckte die Wärmeverluste, nahm die Phenole mit und verließ mit Sättigungstemperatur den Turm über einen Wasserabscheider. Das abgeschiedene Wasser wurde über einen Syphon der Kolonne wieder zugeführt.

Die Versuche konnten drucklos und unter Druck ausgeführt werden.

Dem einströmenden Dampf konnte auch Luft zugesetzt werden, um zu erproben, ob der Luft die gleiche Wirkung zukommt, wie dem gleichen Dampfvolumen. Es konnte auch nur mit Luft abgetrieben werden.

Als Phenolwasser wurde ein Gemisch von Schwel- und Hy-Wässern mit ca. 4 - 5000 mg/l zugeführt, wie es normalerweise in dem Entphenolungsbetrieb verarbeitet wird. Um auch Wasser mit einem Phenolgehalt von 1000 und 500 mg Phenol ausdampfen zu können, wurde ein Mischgefäß eingebaut, dem sowohl Rohwasser wie reines Hochdruckwasser meßbar zugeführt werden konnte.



Auf den Wärmedustausch zwischen dem ablaufenden entphenolten und dem zulaufenden zu entphenolenden Wasser wurde aus Gründen der Billigkeit des Versuches verzichtet. Aus diesem Grunde wurde der Dampf sowohl beim Eintritt (durch Drosselscheibe) als auch als Kondensat (durch Abstoppen) hinter der Kolonne gemessen. Die Differenz der Dampfmengen ging als Kondensat in das ablaufende Schwelwasser und verwässerte dessen Phenolgehalt. Die mitgeteilten Phenolwerte sind jedoch entsprechend umgerechnet.

Das Schwelwasser wurde durch Drosselscheibe gemessen. Die Phenolgehalte wurden im Rohwasser, im klargedampften Wasser und im Kondensat des Abtreibedampfes mit Bromat-Bromid festgestellt und durch Bilanzen geprüft. Phenolgehalte unter 300 mg pro Liter wurden colorimetrisch bestimmt.

Die Druck- und Temperaturmeßstellen gehen aus Abb. 1 hervor. Die Versuche gliederten sich in 4 Abschnitte:

- 1) Zur Entphenolung von Phenolwasser von 5000 mg auf 500 mg wurden die günstigsten Kolonnendimensionen und die erforderlichen Dampfmengen festgelegt.
- 2) Es wurde untersucht, ob eine mit dem Dampf eingeklascene Luftmenge den Entphenolungsvorgang unterstützt.
- 3) Die Versuche von 1) wurden unter ca 1,5 atü Druck wiederholt.
- 4) Die Abtreibekolonne wurde auf ihre Eignung für Entphenolung von Phenolwasser mit 1000 und 500 mg Phenol untersucht.

C. Gang der Versuche und Ergebnisse.

I. Entphenolung von 5000 mg auf 500 mg ohne Druck

a.) Mit einer 125'er Koline, die 4 m hoch war, wurde begonnen. Die Füllung bestand aus 10 - 15  $\text{mm}$  Römerringen und hatte eine Höhe von 3 m. Es war durch die sehr kleinen Ringe, eine Einlaufbrause für Wasser und einen Düsenring im Dampfeintritt für sehr gute Verteilung von Dampf und Wasser gesorgt worden. Mit dieser Apparatur wurden die orientierenden Vorversuche gemacht. Bei einem Verhältnis von Dampfgewicht: Wassergewicht = 1:1 wurden im entphenolten Wasser Werte bis zu 50 mg Phenol pro Liter herunter gefunden, während bei Dampf: Wasser = 1:4 Werte von über 1000 mg entstanden. Infolge der Kleinheit der Apparatur und der Meßgeräte streuten die Werte jedoch und es wurde jetzt eine größere Apparatur mit 400 G in Betrieb genommen.

b.) Mit dieser neuen Koline, die mit Raschigringen 35 x 35 auf 3 m gefüllt war, wurden weniger günstige Resultate erzielt, da offenbar die größeren Ringe und das Fehlen der Einlaufbrause eine nur mangelhafte Wasserverteilung ergaben. Die im entphenolten Wasser gefundenen Phenolwerte sind in Abb. 2 in Abhängigkeit vom Dampf: Wasserverhältnis wiedergegeben. Die jedem Versuchswert beigezeichnete Zahl gibt die Querschnittsbelastung der Koline an in  $\text{m}^3 \text{ Wasser}/\text{m}^2 \text{ Kolonnenquerschnitt}$ . Das Streuen der Werte ist nur mit der schlechten Wasserverteilung zu erklären.

c.) Aus diesem Grunde wurden wieder die kleinsten vorhandenen Füllkörper, mehr als die Hälfte 10 - 15  $\text{mm}$  Römerringe und der Rest 25 x 25 Raschigringe derart eingesetzt, daß die

Abreiseversuche

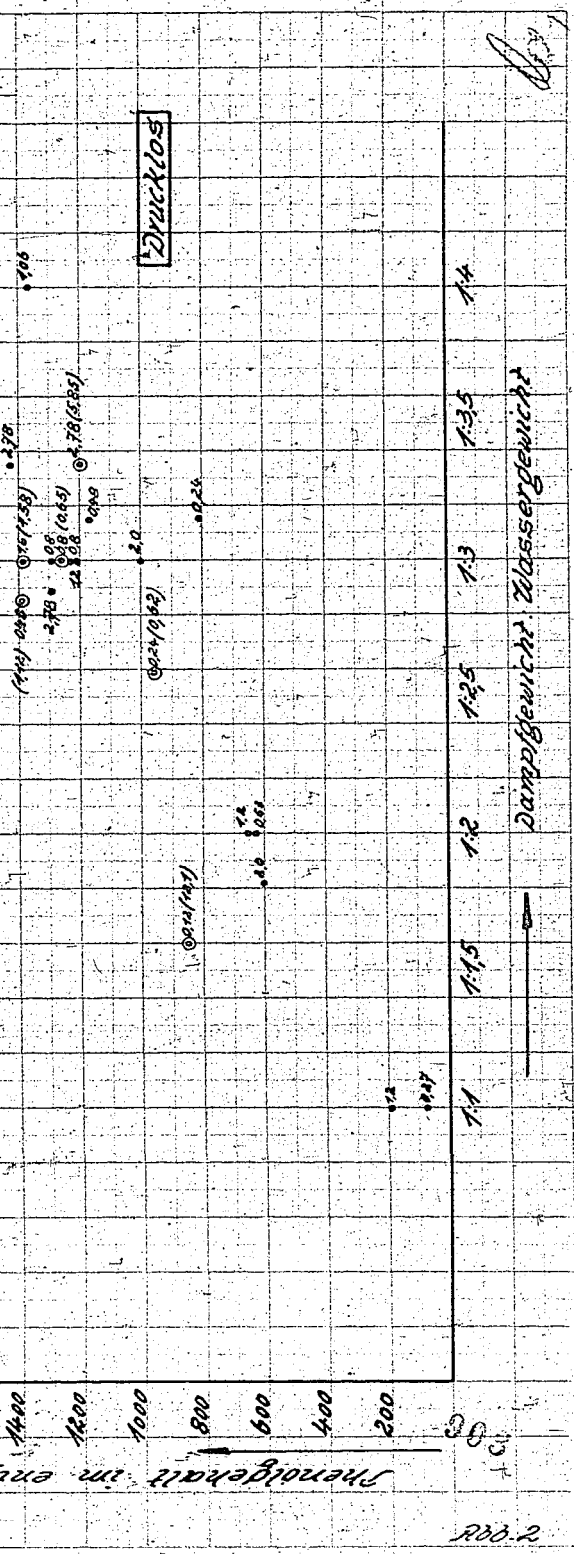
Versuch zur Abreise von Phenol durch Natriumchlorid.

Phenolgehalt im entnahmen Wasser in Abhängigkeit von Beaufschlagung und Zahrt/Wasser-Verhältnis

Apparatur: Kolonne 400 mm  $\varnothing$  4 m hoch reicht 150 Liter  
Füllung: Raschigringe 35 x 35 mm + 2/3 hoch

die bestehenden Zahlen geben den Phenolgehalt  
beaufschlagt in m Phenolwasser in % abweichen.  
Siehe an die eingeschlossene Tabelle das Ver-  
hältnis des Wasservolumens zum Tuffvolumen.

o Abreise durch Dampf und Luft



kleinsten Ringe in Schichten mit gewissen Abstand voneinander das Wasser immer wieder gleichmäßig verteilen sollten. Einlaufbrause und Dampfeintrittsdüse wurden wieder eingebracht.

Abb. 5 und 4 zeigen, daß zur Erreichung einer Entphenolung bis unter 500 mg/l bei dieser Kolonne auf 1,4 m<sup>3</sup> Wasser mindestens 1 to Dampf aufzuwenden ist. Dabei spielt die Wasserbeaufschlagung bis 3 m<sup>3</sup>/m<sup>2</sup> keine Rolle.

Unter "Wirkungsgrad der Kolonne" wird verstanden: Die vom Dampf abgetriebene Phenolmenge im Verhältnis zu der im Rohwasser vorhandenen.

d.) Um die Aufgabe zu erfüllen, mit gleicher Dampfmenge größere Wassermengen zu verarbeiten, mußte die Kolonne erhöht werden.

Ausgeführt wurde: Kolonne 7 m hoch, Raschigfüllung 6 m hoch, also doppelte Höhe von der vorigen Rieselhöhe. Die Ergebnisse sind in Abb. 5 und 6 wiedergegeben. Die Wirkungsgrade der Entphenolung in Abb. 6 geben ein klares Bild der Ergebnisse, da die Phenolwerte im Rohwasser erheblich schwanken. Gerade dieses Bild zeigt im Vergleich mit Abb. 4 sehr deutlich den Einfluß der Kolonnenhöhe. Bei der 7 m Kolonne waren zur 90 %igen Entphenolung auf 2,2 m<sup>3</sup> Wasser nur noch 1 to Dampf erforderlich. Die Erhöhung der Rieselhöhe von 3 auf 6 m brachte also eine Verbesserung um 57 %.

## II. Entphenolung mit einem Dampf - Luftgemisch.

Da zur Wassergasherstellung im Generator 1 des Vergasungsbetriebes außer dem Niederdruckdampf auch erhebliche Windmengen zur Verfügung stehen, die das Volumen des Dampfes sogar übersteigen, wurde in die Kolonne ein entsprechendes Dampf - Luft-

Allgemeine Versuche

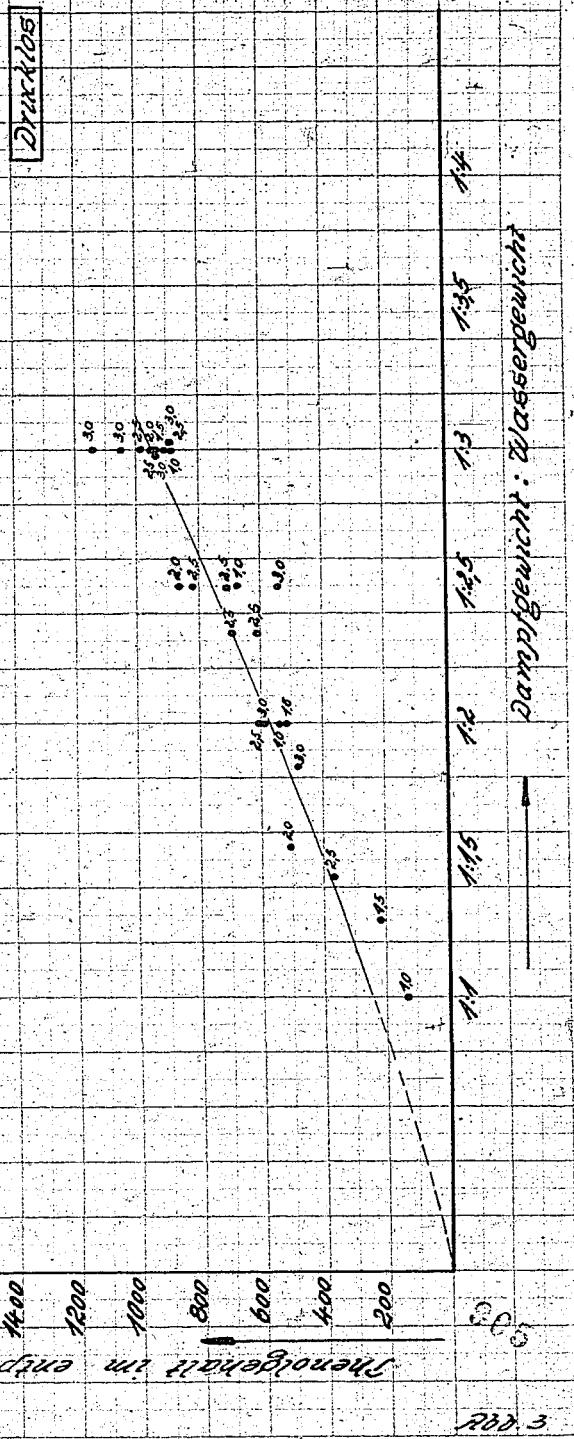
Versuche zur Abreitung von Phenol durch Niederdurchströmung

Phenolgehalt im entnahmen Wasser in Abhängigkeit von Beaufschlagung und Dampf/Wasser-Verhältnis

Anfangskonzentration im Phenolwasser im Mittel 500 mg Phenol/l.  
Apparatur: Kolonne 400 m<sup>2</sup>, 4 m hoch, isoliert.  
Füllung: 13 m Raschigringe 25x25 mm  
008 " Römerringe 10 mm

7.32 " " 15 "

Die verschiedenen Zahlen geben die Phenolmassenbeaufschlagung in m<sup>3</sup> Phenolwasser/m<sup>2</sup> Kolonnenfläche an



Durchfluss: 1400 l/h  
Dampfgehalt: Wassergewicht: 1400

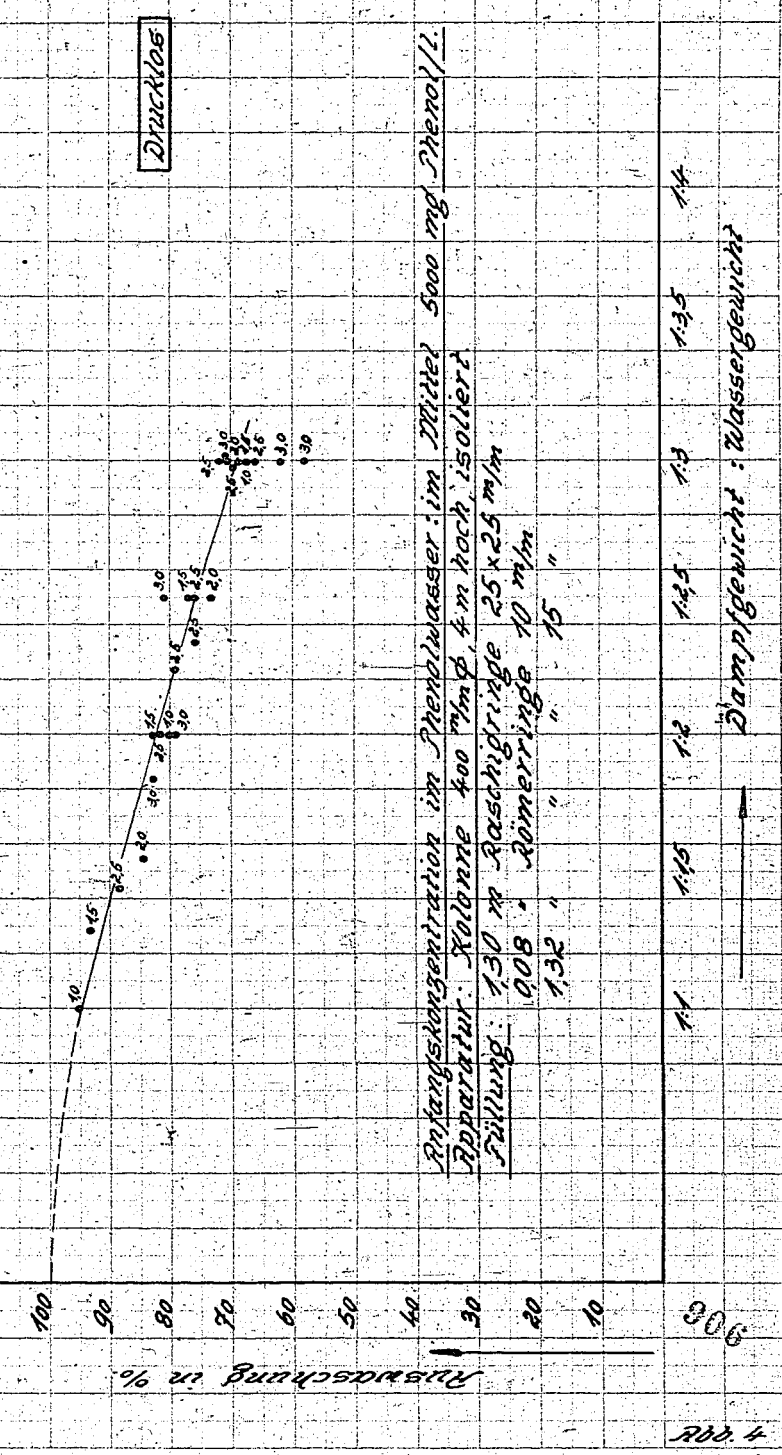
2000.3

Reihe 1 Versuche

Versuche zur Auflösung von Phenol durch Niederdampfdampf

Wirkungsweise der Entphenolung in Abhängigkeit von Beaufschlagung und Dampf/Wasser-Derhaltnis

Die beschriebenen Zahlen geben die Phenolwasserabauschlagung in m<sup>3</sup> Phenolwasser/m<sup>2</sup> Kolonnenfläche an.



Anfangskonzentration im Phenolwasser: im Mittel 500 mg Phenol/l.

Dampfaratur: Kolonne 400 °C, 4 m hoch isoliert

Füllung: 130 m<sup>3</sup> Raschigtröge 25 x 25 mm

0.08 " dünner rings 10 m/m

1.32 " " 15 "

RDD. 4

30.6

11

10

9

8

7

6

5

4

3

2

1

0

Chy,

Dampfgewicht: Wassergewicht

Arbeitsversuche

Versuch zur Aufreitung von Phenol durch Niederschlag dampf.

Phenolgehalt im entphenolisierten Wasser in Abhängigkeit von Beaufschlagung und Dampf/Wasser-Verhältnis.

Phenolgehalt im Phenolwasser im Mittel 500 mg Phenol/l

Apparatur: Kolonne 400 mm ⌀, 7 m hoch, isoliert:

Zuführung: 130 m Raschigringe 25x25 mm

008 " 20mm, Höhe 10 mm

Durchfluss

1.32 "

0.10 "

10 "

15 "

3.00 1 Raschigringe 25x25 mm

Die abgeschnittenen Fäden geben die Phenolwasserbeaufschlagung in Phenolwasser / in 2 Kolonnenfläche an, die eingeschlossenen Zahlen das Verhältnis des Dampfdrückens zum Luftdruck.

○ Rüttelung durch Dampf und Luft

Phenolgehalt im entphenolisierten Wasser in mg/l

200.5

300

1

2

3

4

5

6

7

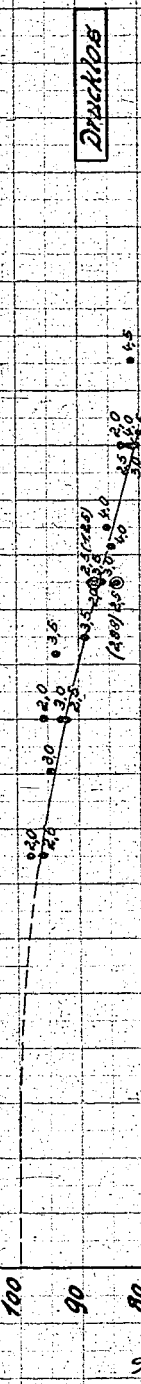
8

*Rohrleideversuche*

Versuche zur Abreitung von Phenol durch Dampf und Wasserdampf.

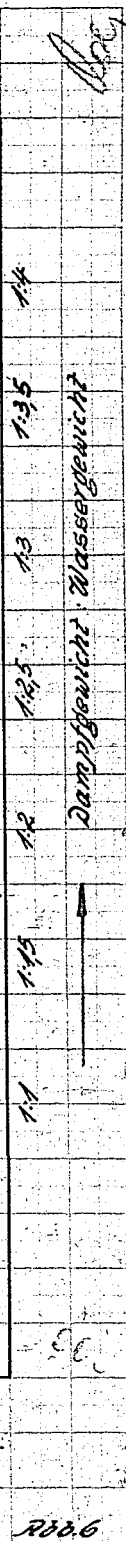
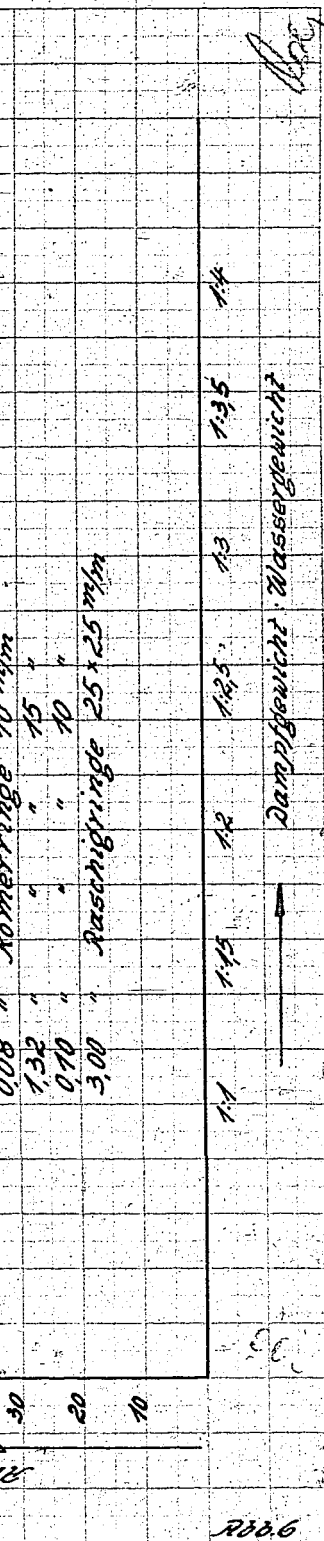
Wirkungsgrad der Entzündung in Abhängigkeit von Bevölkerung und Dampf/Wasser-Verhältnis:

Die vorgebeschriebenen Zahlen geben die Phenoldampfbelastung in m<sup>3</sup> Phenol/wasser/m<sup>2</sup> Holzfläche an. Sie ergeben zusammen das Verhältnis des Dampfvolumens zum Luftvolumen:



② Abreitung durch Dampf und Luft

Abgangskonzentration im Phenolwasser: im Mittel summe mg Phenol/l.  
Apparatur: Kolonne 400 g. Tropf hoch isoliert:  
Züllung: 130 m Raschigringe 25x25 mm  
Römerringe 10 mm



7306

gemisch eingesblasen. Der Erfolg war, daß die Entphenolung nicht besser wurde, als wenn der beteiligte Dampf die Kolonne alleine durchflossen hätte. Dieser Versuch wurde mehrmals, sowohl mit der 4 m-, als auch der 7 m-Kolonne durchgeführt. Die Versuchswerte sind in den Abb. 2 und 5 durch Doppelkreise gekennzeichnet. Die dabeistehenden eingeklammerten Zahlen geben das Verhältnis von Luft- zu Dampfvolumen an.

Aus dem Ergebnis kann nun nicht etwa geschlossen werden, daß der Wind sich keine Wirkung auf das Phenolwasser ausübe. Was die Luft an Verbesserung der Wirkung bringt, wird ausgeglichen durch die Verschlechterung, die durch die entstandenen geringeren Abtreibetemperaturen verursacht wird. Während bei der Abtriebung mit nur Dampf die Ein- und Austrittstemperatur des Dampfes ... solange in der Kolonne Atmosphärendruck herrscht - 100 °C beträgt, sinkt bei einem Dampf-Luftgemisch die Kolonntemperatur auf mindestens die Sättigungstemperatur von Dampf bei dem vorhandenen Dampfpartialdruck, also ca 60 - 70 °C.

Eine Bestätigung dafür, daß der Wind alleine tatsächlich Phenol abzutreiben vermag, brachte ein Sonderversuch. Das Roh-Phenolwasser wurde auf 100 ° vorgewärmt und mit Wind allein in der 7 m-Kolonne behandelt. Es stellten sich folgende Versuchsergebnisse ein, die einem entsprechenden Versuch mit nur Dampf gegenübergestellt seien.

Abtrei- bemedi- num	Vers. Nr.	Phenolwas- sermenge	Dampfmenge	Luft- menge	Wasser- volumen:	Dampf- wasser- bezw. Luft- gewicht volumen
---------------------------	--------------	------------------------	------------	----------------	---------------------	--

		$m^3/h$	$m^3/m^2$	$t/h$	$m^3/h$	$m^3/h$	$m^3:m^3$
Luft	97	0,315	2,5		205	1:650	
	98	0,315	2,5		142	1:450	
Dampf	87	0,315	2,5	0,126	202	-	1:640 1:2,5
	88	0,315	2,5	0,105	168	-	1:535 1:3,0

Vers. Nr.	Temperaturen					Roh- Phenol- Wasser	entphe- der Ent- nolten phenolung Wasser	Wirkungs- grad
	Wasser- tritt	Aus- tritt	Bin- tritt	Aus- tritt	Luft- tritt			
97	97,5	18,6	5°	62,2	4220	1990	53	
98	97,2	24,3	5°	67,2	4150	1990	52	
87	25	98,2	101,0	101,0	4550	470	90	
88		98,2	100,6	100,6	4600	764	84	

### III. Abtreibung durch Dampf unter Druck.

Wenn der Dampf nach Verlassen der Kolonne eine noch möglichst hohe Temperatur haben soll, ist es zweckmäßig, unter Druck zu arbeiten. Gewählt wurde ein Druck von 1,5 atü entsprechend dem Druck im Niederdruckdampfnetz. Ausgeführt wurden die Versuche in der gleichen vervollkommenen 7 m hohen Apparatur wie die letzten Versuche mit Dampf ohne Druck und mit Luft.

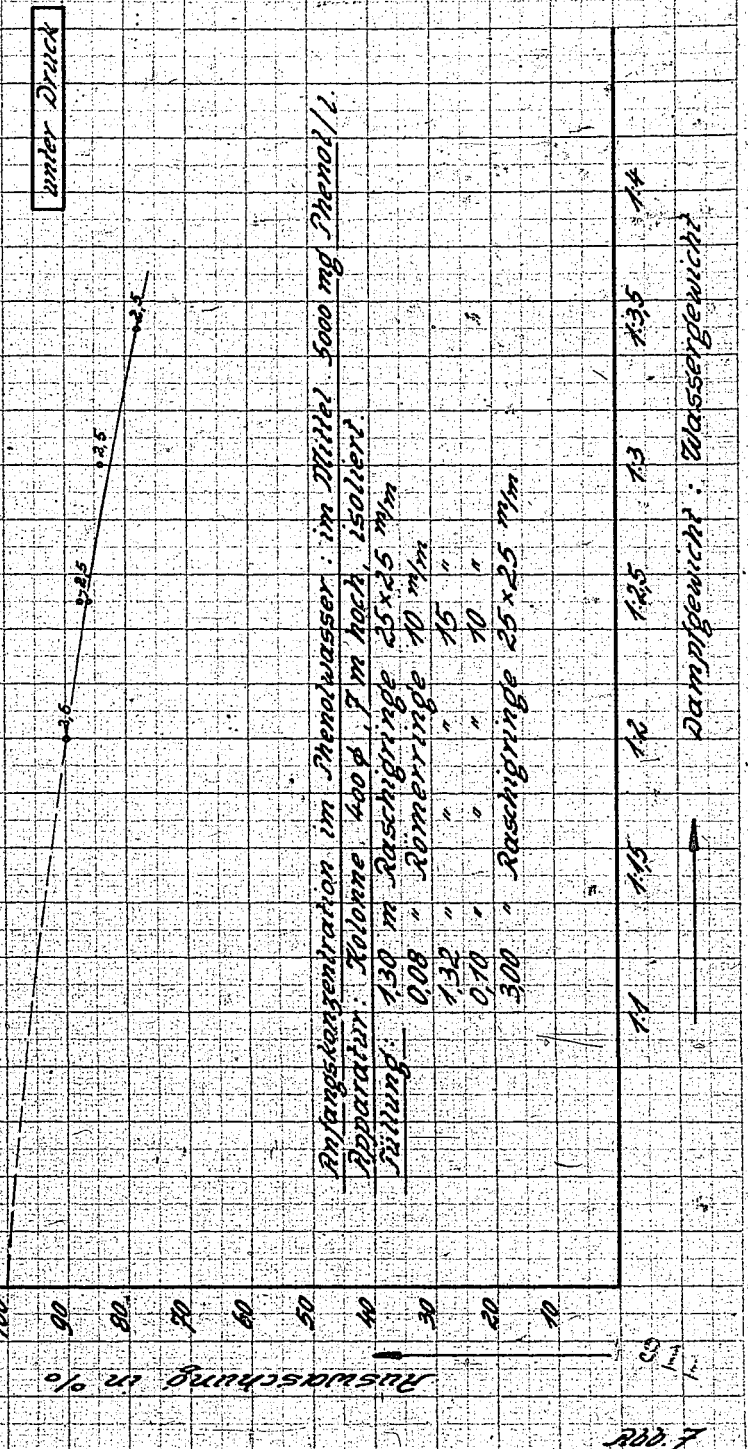
Die Ergebnisse sind in Abb. 7 dargestellt, wo die Wirkungs-

Reinigungsversuche

Versuch zur Reinigung von Phenol durch Niederdruckdampf

Wirkungsgrad der Entphenolisierung in Abhängigkeit von Beaufschlagung und Dampf/Wasser-Verhältnis.

Die beigezeichneten Zahlen geben die Phenolwasserbeaufschlagung in % Phenol-Wasser an.



Abgangskonzentration im Phenolwasser: im Trichter sammelnd Phenol/.

Durchfluss: Kolonne 400 l/h in hoch 150 l/min.

Stellung: 130 m Raschigröhre 25x15 mm

Reinheit: 120 l/h 10 mm

130 "

10 "

300 " Raschigröhre 25x25 mm

2007

125 125 125 125

125 125 125 125

125 125 125 125

125 125 125 125

125 125 125 125

125 125 125 125

125 125 125 125

125

125

125

125

125

125

125

125

125

125

125

125

125

125

125

125

125

125

125

125

125

125

125

125

125

125

125

125

125

125

125

125

125

125

125

125

125

125

125

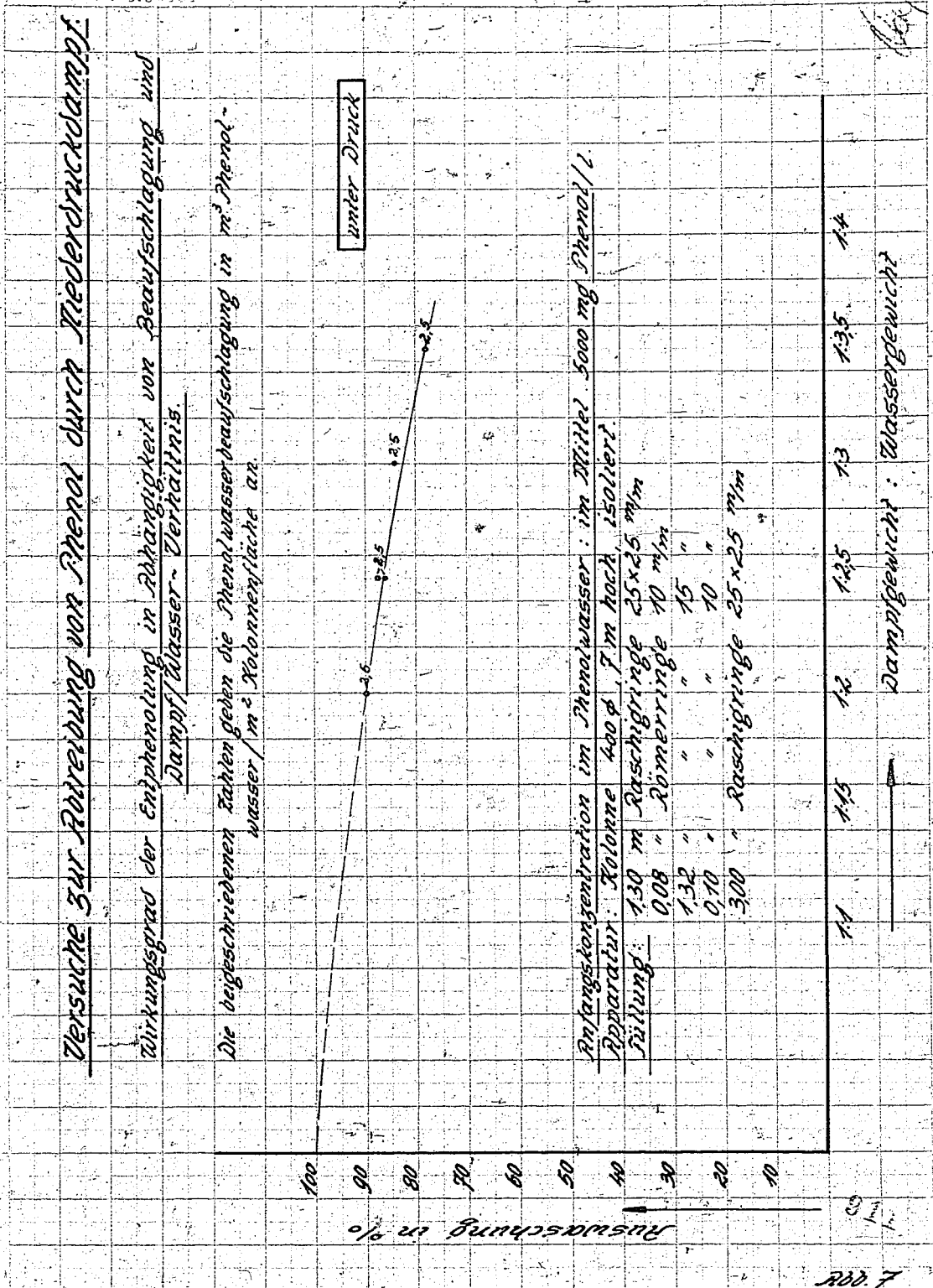
125

Abtreibungsversuche

versuche zur Abreitung von Phenol durch Niederdruckdampf

Zinkungssgrad der Enthaarung in Abhängigkeit von Beaufschlagung und Dampf/Wasser-Verhältnis.

Die unterschiedenen Zahlen geben die Phenolwasserbeaufschlagung in m<sup>3</sup> Phenolwasser/m<sup>2</sup> Hohlräumfläche an



grade der Entphenolung, also das Verhältnis der abgetriebenen zur anfänglich im Wasser vorhandenen Phenolkonzentration, aufgetragen sind. Ein Vergleich mit den Versuchen ohne Druck (Abb. 6) zeigt, daß sich die Wirkung etwas verschlechtert hat, so daß zur 90 %igen Entphenolung jetzt auf nur 2 m<sup>3</sup> Wasser (statt 2,2 m<sup>3</sup> ohne Druck) 1 to Dampf erforderlich ist. Diese Verschlechterung ist vermutlich ebenso wie bei der Abtreibung durch das Dampf-Luftgemisch eine Resultierende zweier Wirkungen: Die Erhöhung der Dampftemperatur wirkt begünstigend auf den Entphenolungsvorgang, die Verringerung des Dampfvolumentes verschlechternd.

IV. Abtreibung von Phenol aus Wasser mit 1000 und 500 mg/l Anfangskonzentration durch Dampf drucklos und unter Druck.

Um nun auch die Wirksamkeit der Kolonne zur Abtreibung von Wasser mit geringerer Phenolkonzentration zu untersuchen, wurde dem konzentrierten Phenolwasser soviel Hochdruckwasser beigemischt, daß ein Mischkonzentrations von etwa 1000, das andere Mal von 500 mg Phenol/l entstanden. Die Ergebnisse sind in den Abb. 8 und 9 niedergeschlagen, wieder doch Einfachheit halber nur die Wirkungsgrade wiedergegeben sind, in Abhängigkeit von Dampf:Wasser-Verhältnis. Ein Vergleich mit Abb. 6 bringt eine einleuchtende Erkenntnis: Je geringer die Anfangskonzentration, umso geringer der Wirkungsgrad der Abtreibung.

Anfangskonzen- tration im Hoch-Pheholwasser	1 to Dampf treibt drucklos die Phenole zu 90 % ab aus
ca. 5000 mg/l	2,2 m <sup>3</sup> Wasser
1000 " "	2,1 m <sup>3</sup> "
500 " "	1,9 m <sup>3</sup> "

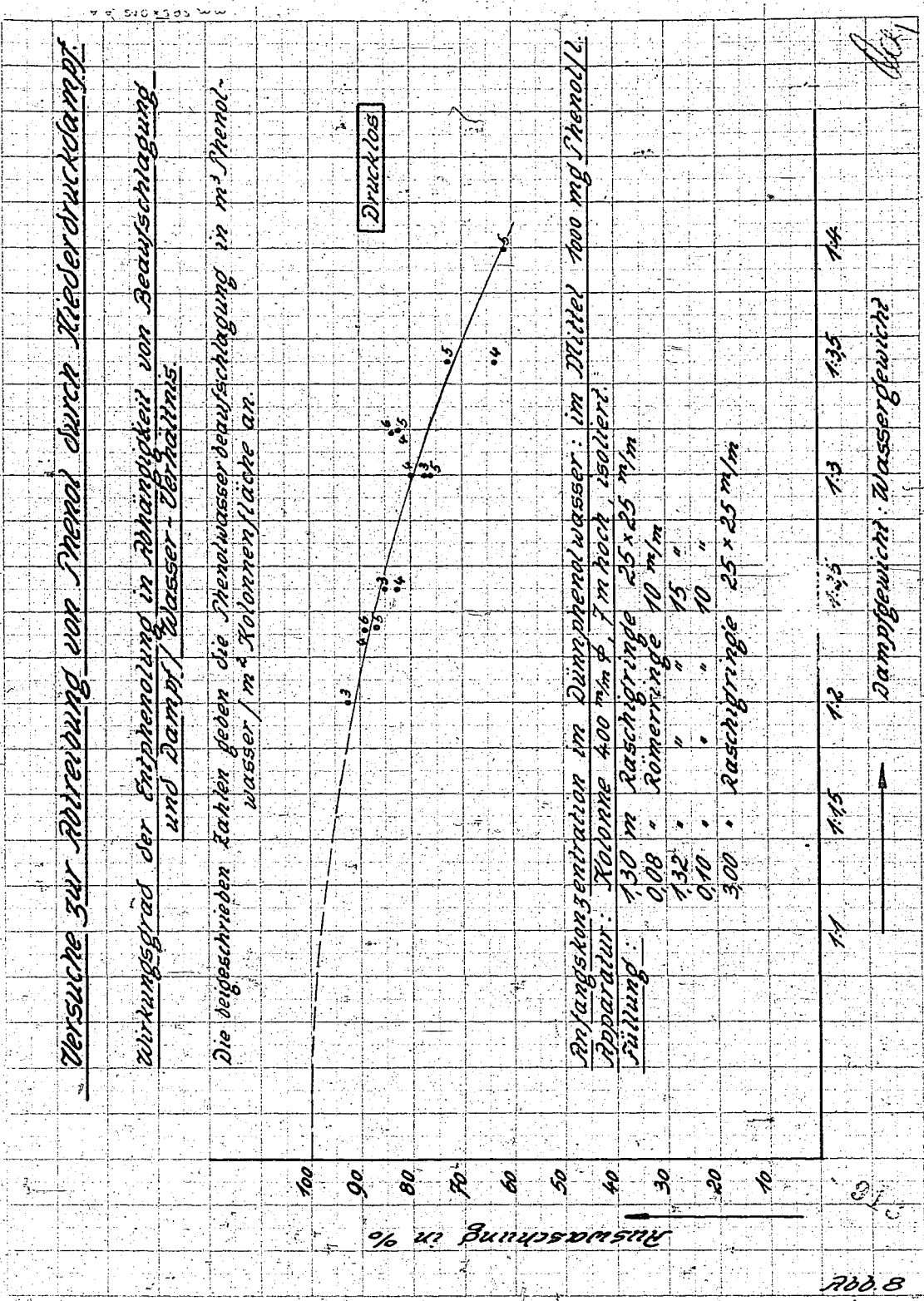
312

Abriebeversuche

Versuche zur Anstrengung von Phenol durch Niederdruckdampf

Anstrengungsgrad der Entphenolung in Abhängigkeit von Druck und Dampf/Wasser-Zusammensetzung.

Die niedergeschriebenen Zahlen geben die Phenolwasserabrechnung in m³ Phenol/wasser/m² Tonnenfläche an.



Anfangskonzentration im Dünnpfandwasser: im Mittel 1000 mg Phenoll.

Abstand zum Tononie 400 mm S. 7m hoch isoliert:

Zeilung: 1.30 m Rastigringe 25x25 mm  
0.08 " Roherringe 10 mm  
1.32 " " 15 "

0.10 " " 10 "

3.00 " Rastigringe 25x25 mm

1 1.15 1.2 1.25 1.3 1.35 1.4  
2 1.15 1.2 1.25 1.3 1.35 1.4  
3 1.15 1.2 1.25 1.3 1.35 1.4  
4 1.15 1.2 1.25 1.3 1.35 1.4  
5 1.15 1.2 1.25 1.3 1.35 1.4  
6 1.15 1.2 1.25 1.3 1.35 1.4  
7 1.15 1.2 1.25 1.3 1.35 1.4  
8 1.15 1.2 1.25 1.3 1.35 1.4  
9 1.15 1.2 1.25 1.3 1.35 1.4  
10 1.15 1.2 1.25 1.3 1.35 1.4  
11 1.15 1.2 1.25 1.3 1.35 1.4  
12 1.15 1.2 1.25 1.3 1.35 1.4  
13 1.15 1.2 1.25 1.3 1.35 1.4  
14 1.15 1.2 1.25 1.3 1.35 1.4  
15 1.15 1.2 1.25 1.3 1.35 1.4  
16 1.15 1.2 1.25 1.3 1.35 1.4  
17 1.15 1.2 1.25 1.3 1.35 1.4  
18 1.15 1.2 1.25 1.3 1.35 1.4  
19 1.15 1.2 1.25 1.3 1.35 1.4  
20 1.15 1.2 1.25 1.3 1.35 1.4  
21 1.15 1.2 1.25 1.3 1.35 1.4  
22 1.15 1.2 1.25 1.3 1.35 1.4  
23 1.15 1.2 1.25 1.3 1.35 1.4  
24 1.15 1.2 1.25 1.3 1.35 1.4  
25 1.15 1.2 1.25 1.3 1.35 1.4  
26 1.15 1.2 1.25 1.3 1.35 1.4  
27 1.15 1.2 1.25 1.3 1.35 1.4  
28 1.15 1.2 1.25 1.3 1.35 1.4  
29 1.15 1.2 1.25 1.3 1.35 1.4  
30 1.15 1.2 1.25 1.3 1.35 1.4  
31 1.15 1.2 1.25 1.3 1.35 1.4  
32 1.15 1.2 1.25 1.3 1.35 1.4  
33 1.15 1.2 1.25 1.3 1.35 1.4  
34 1.15 1.2 1.25 1.3 1.35 1.4  
35 1.15 1.2 1.25 1.3 1.35 1.4  
36 1.15 1.2 1.25 1.3 1.35 1.4  
37 1.15 1.2 1.25 1.3 1.35 1.4  
38 1.15 1.2 1.25 1.3 1.35 1.4  
39 1.15 1.2 1.25 1.3 1.35 1.4  
40 1.15 1.2 1.25 1.3 1.35 1.4  
41 1.15 1.2 1.25 1.3 1.35 1.4  
42 1.15 1.2 1.25 1.3 1.35 1.4  
43 1.15 1.2 1.25 1.3 1.35 1.4  
44 1.15 1.2 1.25 1.3 1.35 1.4  
45 1.15 1.2 1.25 1.3 1.35 1.4  
46 1.15 1.2 1.25 1.3 1.35 1.4  
47 1.15 1.2 1.25 1.3 1.35 1.4  
48 1.15 1.2 1.25 1.3 1.35 1.4  
49 1.15 1.2 1.25 1.3 1.35 1.4  
50 1.15 1.2 1.25 1.3 1.35 1.4  
51 1.15 1.2 1.25 1.3 1.35 1.4  
52 1.15 1.2 1.25 1.3 1.35 1.4  
53 1.15 1.2 1.25 1.3 1.35 1.4  
54 1.15 1.2 1.25 1.3 1.35 1.4  
55 1.15 1.2 1.25 1.3 1.35 1.4  
56 1.15 1.2 1.25 1.3 1.35 1.4  
57 1.15 1.2 1.25 1.3 1.35 1.4  
58 1.15 1.2 1.25 1.3 1.35 1.4  
59 1.15 1.2 1.25 1.3 1.35 1.4  
60 1.15 1.2 1.25 1.3 1.35 1.4  
61 1.15 1.2 1.25 1.3 1.35 1.4  
62 1.15 1.2 1.25 1.3 1.35 1.4  
63 1.15 1.2 1.25 1.3 1.35 1.4  
64 1.15 1.2 1.25 1.3 1.35 1.4  
65 1.15 1.2 1.25 1.3 1.35 1.4  
66 1.15 1.2 1.25 1.3 1.35 1.4  
67 1.15 1.2 1.25 1.3 1.35 1.4  
68 1.15 1.2 1.25 1.3 1.35 1.4  
69 1.15 1.2 1.25 1.3 1.35 1.4  
70 1.15 1.2 1.25 1.3 1.35 1.4  
71 1.15 1.2 1.25 1.3 1.35 1.4  
72 1.15 1.2 1.25 1.3 1.35 1.4  
73 1.15 1.2 1.25 1.3 1.35 1.4  
74 1.15 1.2 1.25 1.3 1.35 1.4  
75 1.15 1.2 1.25 1.3 1.35 1.4  
76 1.15 1.2 1.25 1.3 1.35 1.4  
77 1.15 1.2 1.25 1.3 1.35 1.4  
78 1.15 1.2 1.25 1.3 1.35 1.4  
79 1.15 1.2 1.25 1.3 1.35 1.4  
80 1.15 1.2 1.25 1.3 1.35 1.4  
81 1.15 1.2 1.25 1.3 1.35 1.4  
82 1.15 1.2 1.25 1.3 1.35 1.4  
83 1.15 1.2 1.25 1.3 1.35 1.4  
84 1.15 1.2 1.25 1.3 1.35 1.4  
85 1.15 1.2 1.25 1.3 1.35 1.4  
86 1.15 1.2 1.25 1.3 1.35 1.4  
87 1.15 1.2 1.25 1.3 1.35 1.4  
88 1.15 1.2 1.25 1.3 1.35 1.4  
89 1.15 1.2 1.25 1.3 1.35 1.4  
90 1.15 1.2 1.25 1.3 1.35 1.4  
91 1.15 1.2 1.25 1.3 1.35 1.4  
92 1.15 1.2 1.25 1.3 1.35 1.4  
93 1.15 1.2 1.25 1.3 1.35 1.4  
94 1.15 1.2 1.25 1.3 1.35 1.4  
95 1.15 1.2 1.25 1.3 1.35 1.4  
96 1.15 1.2 1.25 1.3 1.35 1.4  
97 1.15 1.2 1.25 1.3 1.35 1.4  
98 1.15 1.2 1.25 1.3 1.35 1.4  
99 1.15 1.2 1.25 1.3 1.35 1.4  
100 1.15 1.2 1.25 1.3 1.35 1.4

200.8

→ Luftge wicht: Wasserge wicht?

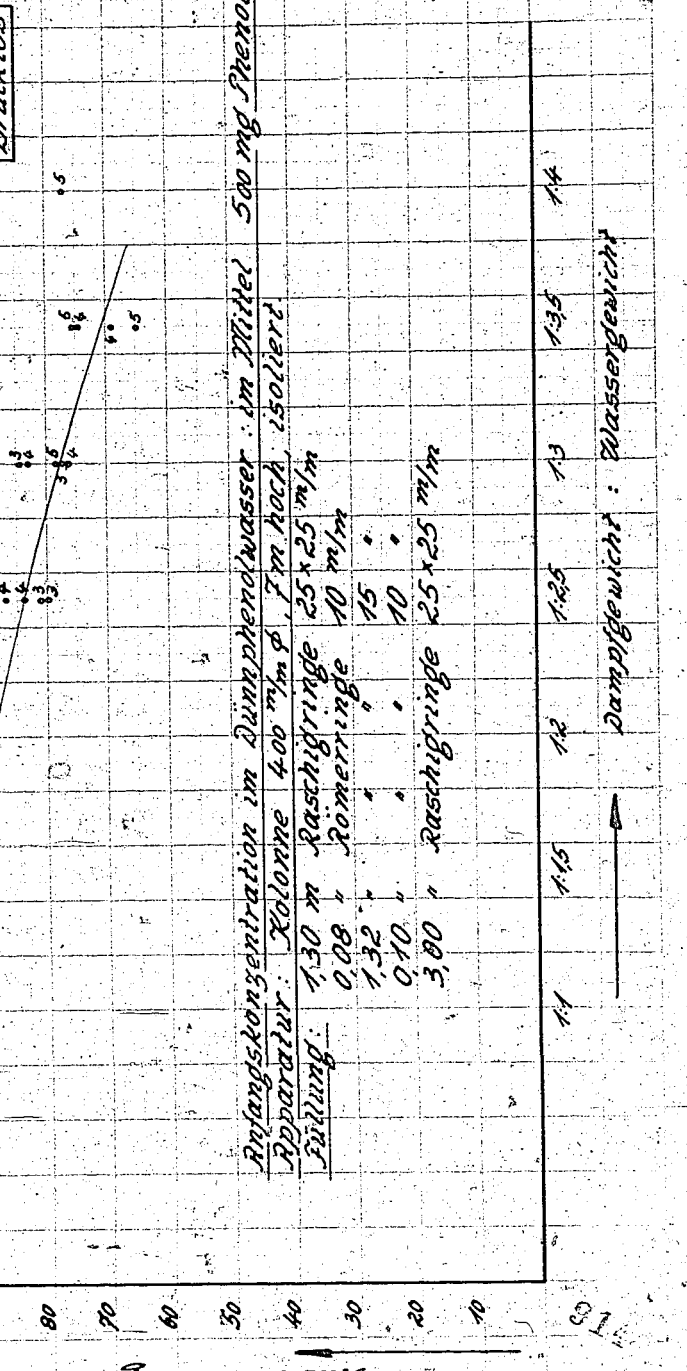
Acky

Affidivversuche

Versuche zur Abreitung von Phenol durch Meckeldruckkampe

Wirkungsgrad der Entphenolung in Abhangigkeit von Beaufschlagung und Dampf/Wasser-Verhältnis.

Die verschiedensten Zahlen geben die Phenolwasserbeaufschlagung in Phenolwasser / m² Kolonnenfläche an.



Brandskonzentration im Dampfphenolwasser : im Mittel 500 mg Phenol/l.

Abstand zw.: Kolonne 400 mm, Tropftrichter 150 mm

Füllung: 1.30 m Raschigringe 25x25 mm

0.08 m Römerringe 10 mm

1.32 m Raschigringe 15 mm

0.10 m Raschigringe 10 mm

3.00 m Raschigringe 25x25 mm

200.9

Eine Variation der Belastung brachte Unterschiede im Wirkungsgrad, die innerhalb der Genauigkeitsgrenze der üblichen Phenolbestimmungsmethode liegen. Die Grenze der Belastbarkeit der Kolonne ist bestimmt durch das Überreichen von Wasser in den Dampfaustritt, also durch die Dampfgeschwindigkeit.

Um die Belastbarkeit der Kolonne jedoch möglichst zu steigern, wurde auf die 7 m hohe Kolonne noch 1 m freier Dampfraum aufgebracht. Nach dieser Änderung wurden bei 90 %iger Entphenolung und 1000 mg Anfangskonzentration und drucklosen Betrieb noch Belastungen bis  $7 \text{ m}^3$  Wasser pro  $\text{m}^2$  Kolonnenquerschnitt, bei Betrieb unter Druck bis zu  $2 \text{ m}^3/\text{m}^2$  erreicht. In Abb. 10 sind die Ergebnisse bei hohen Belastungen und unter Druck bei 1000 mg/l Anfangskonzentration dargestellt.

#### D. Zusammenstellung der Ergebnisse.

##### Abtreibemedium:

Zum Abtreiben ist nur Dampf zu empfehlen. Ein Gemisch von Dampf mit kalter Luft setzt die Arbeitstemperatur und die Wirksamkeit herab. Dieser Mangel wird durch das vergrößerte Volumen nicht wettgemacht. Luft allein ist zwar nicht unwirksam; die Frage jedoch, ob bei gleichen Temperaturen gleiche Wind- und Dampfvolumina gleiche Wirkung haben, wurde nicht geprüft, die Abstreitung mit  $100^\circ\text{C}$  heißer Luft wohl nicht in Frage kommt.

##### Wirkungsgrad der Abstreitung:

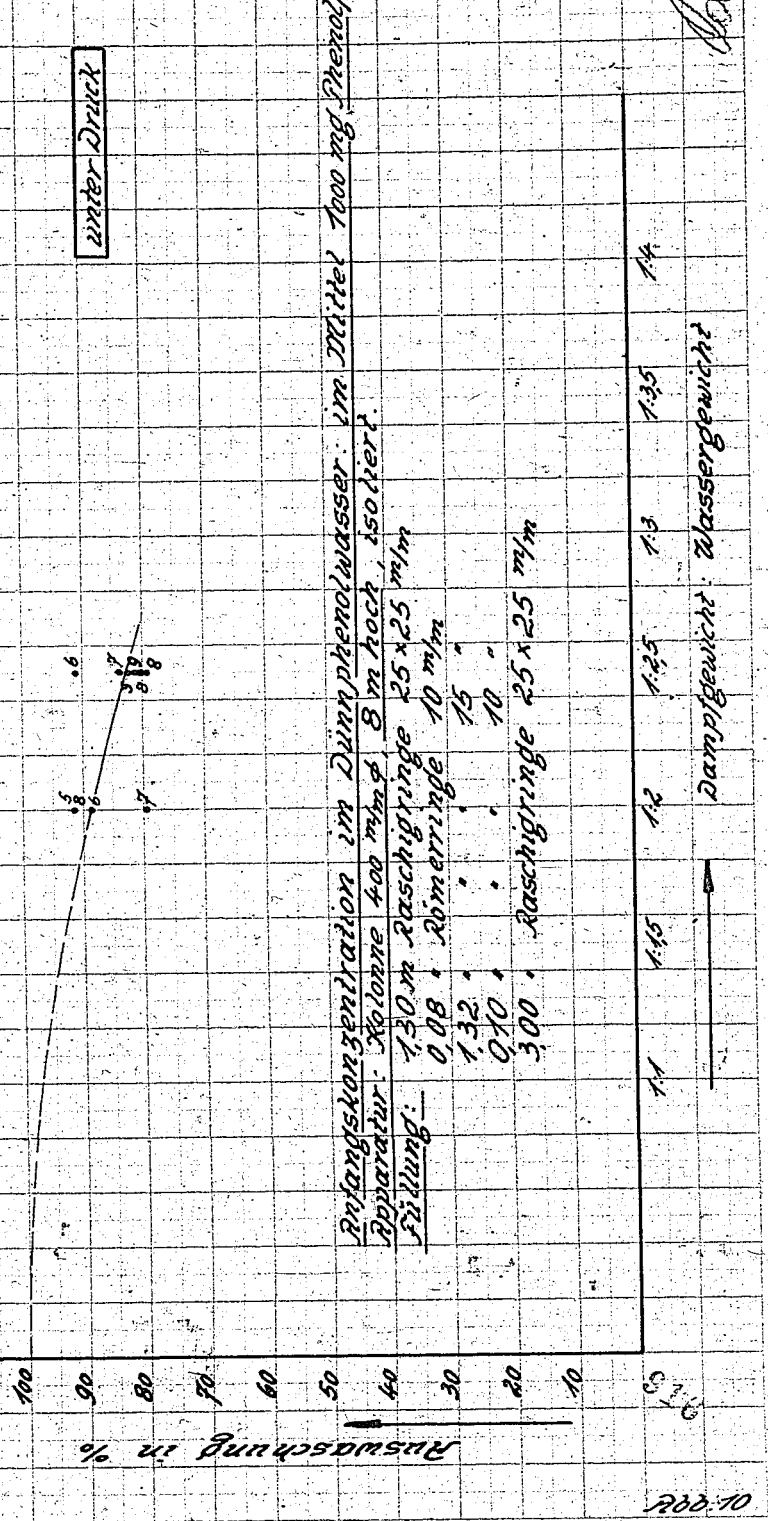
Es konnte jeder beliebige Wirkungsgrad erzielt werden, je nach Kolonnenkonstruktion und Dampf:Wasser-Verhältnis. Als Ziel wurde für alle Versuche 90 %ige Abstreitung festgesetzt.

Abtrieberversuche

Versuche zur Abtreibung von Phenol durch Niederdruckdampf.

Ablösungsgrad der Entphosphorung in Abhängigkeit von Beaufschlagung und Dampf/Wasser-Verhältnis.

Die verschiedenen Zahlen geben die Phenolwassergehaltsschaltung in m³ Phenolwasser/m² Kolonnenfläche an.



Phenolkonzentration im Dünnpfennolwasser: um Mittel 1000 mg Phenol/l

Apparatur: Kolonne 400 mm d 8 m hoch isoliert.

Ablösung: 1.30 m Raschigringe 25 x 25 mm

Abtrennung: 0.08 m Römerringe 10 mm

1.32 " " 15 "

0.10 " " 10 "

3.00 " Raschigringe 25 x 25 mm

1.15 " " 15 "

1.2 " " 15 "

1.35 " " 14 "

Dampfge wicht: Wassergewicht?

1/2

Kolonnenhöhe:

Je höher die Kolonne, desto besser der Wirkungsgrad. Es wurde mit 2,3 und 6 m Rieselhöhe gearbeitet. Die besten Ergebnisse wurden mit einer 3 m hohen Kolonne und 6 m hohen Füllkörpergeschicht erzielt. Eine weitere Erhöhung muß vermutlich noch eine weitere Verbesserung bringen.

Füllkörper:

Je kleiner die Füllkörper, umso größer die Berührungsfläche, und umso größer die Reaktionszeit zwischen Wasser und Dampf. Zweckmäßig sind Füllkörper von  $15^{\text{m}}/\text{m}$  bis  $25^{\text{m}}/\text{m}$  Größe. Über die Eignung von Koks als Füllmaterial werden z.Zt. noch Versuche angestellt.

Kolonnenquerschnitt:

Gearbeitet wurde mit 125 und  $400^{\text{m}}/\text{m}$  Durchmesser, wobei die Ergebnisse mit der 125'er Kolonne die besseren waren. Maßgebend ist in erster Linie aber die Gleichmäßigkeit der Verteilung von Wasser und Dampf auf den Querschnitt, die durch Brausen und Düsen erreicht werden kann. Bei Beachtung dieser wichtigen Forderung kann eine Vergrößerung des Durchmessers nicht sehr bedenklich sein.

Belastbarkeit der Kolonne:

Die Grenze der Belastbarkeit ist gegeben durch das Mitreißen von Wasser durch den Abtreibedampf, also durch die Dampfgeschwindigkeiten. Zweckmäßig ist bei drucklosem Betrieb eine Belastung nicht über  $6 \text{ m}^3$  Wasser pro  $\text{m}^2$  Kolonnenquerschnitt, bei Anwendung von 1,5 atü Druck nicht über  $7 \text{ m}^3/\text{m}^2$ .

Arbeitsdruck:

In Frage kommt nur druckloser Betrieb und ein Druckbetrieb bei 1,2 - 1,5 atü. Einfacher ist der drucklose Betrieb; er erfor-

dert keine Bedienung, da das Wasser durch Syphon aus der Kolonne ablaufen kann, während bei Druckbetrieb ein Wasserstand in der Kolonne durch einen Mann gehalten werden muß. Wirksamer ist der drucklose Betrieb um ca 10 % gegenüber dem Druckbetrieb. Betrieblich zweckmäßiger ist der Druckbetrieb, sofern die Abtrennung in der Wassergasfabrik vorgenommen werden muß, da Überdruck und höhere Temperatur des Dampfes erforderlich ist.

Arbeitstemperatur:

Die Arbeitstemperatur ist gegeben als Sättigungstemperatur des Dampfes bei dem Arbeitsdruck, also  $100^{\circ} - 125^{\circ}$ . Erforderlich ist, daß der Wärmeaustauscher, in dem das entphenolte Wasser seine Wärme an das ankommende Wasser abgibt, beiderseitig unter dem Arbeitsdruck steht, um Wärmeverluste zu vermeiden.

Dampfaufwand:

Je niedriger die Anfangskonzentration am Phenol im Wasser, desto mehr Dampf ist erforderlich, um 90 % der Phenole abzutreiben.

Bei einer Anfangskonzentration von	4000	1000 mg/l
Kann 1 t ND-Dampf 90%ig entphenolen	bei drucklosem Betrieb	2,2 2,1 m <sup>3</sup> Wasser
	bei Druckbetrieb	2,0 1,9

Die Zahlen gelten für 6 m Rieselhöhe in der Kolonne. Größere Rieselhöhen können die Werte verbessern.

Verluste:

Die Dampfverluste haben 3 Ursachen:

1.) Strahlung und Leitung. Diese Verluste sind nur eine Funktion der Oberflächengröße und der Isolation. Sie können genügend klein gehalten werden.

2.) Wenn der Wärmeaustauscher so arbeitet, daß das vorgewärmt

te Schwasser mit einer Temperatur, die  $25^{\circ}$  unter der Arbeitstemperatur liegt, in die Kühleinstellung, so ist für Aufheizung auf die Verdampfungstemperatur bei je 50 l Wasser ca 1 t Dampf verloren, dessen Kondensat mit dem Wasser abfließt.

(Die Wärme ist nicht verloren, da sie im Wärmetauscher z.B. ausgenutzt wird.)

3.) Der aus der Kühleinstellung austretende Dampf und zum Wasseraustritt aus betrieblichen Gründen um  $5^{\circ}$  überschritten sein. Zu diesem Zweck kann es den neuen Regelungen der Norm eine überkritischer Hochdruckdampf eingeführt werden. Die Menge dieses HD-Dampfes ist eine Funktion der Betriebszeit des HD-Arbeitsdampfes. Aufgrund seines Weges (Kondensation der Chlorwasserstoffe im Schwasser und Dampftrenndestill) wurde die Dampftrenndestilligkeit kontinuierlich zuvorlieger als 1 % unter der Norm, die den Dampf 2 % Wasser vorgibt, wenn auf 5-6 HD-Dampf ist HD-Dampf in die Niederdruksdampfleitung zu einspeisen.

#### Unterhalfrage:

Im Butyphenolabtrieb sind bislang Wassertemperaturen von  $30^{\circ}$  keine Angriffe des Eisens zu erkennen gewesen. Bei den Abreibever suchen verließ jedoch das Butyphenol das Wasser die Kühleinstellung mit einer leichten schwefelkohlenstoffartigen Trübung.

Die chemische Untersuchung des eintretenden Wassers ergab die bedenkliche Tatsache, daß das Wasser im vor Röhrchen-20 mg Eisen/l aufgenommen hatte. Die im Anschluß daran angestellten Korrosionsversuche sind noch zu Gunsten

### E. Kosten des Verfahrens.

Es seien 2 Betriebsfälle überschlägig nachgerechnet:

#### 1.) Konzentrierte Wässer:

10 m<sup>3</sup>/h mit 5000 mg Phenol/l sind zu entphenolen auf 500 mg/l. Abzutreiben sind also 52 t Phenol aus 7 200 m<sup>3</sup> Wasser im Monat.

Die Anlage beansprucht bei Druckbetrieb Kolonnen mit zusammen 1,5 m<sup>2</sup> Querschnitt. Die Anlagekosten seien unter Benutzung vorhandener Materialien roh auf 45 000 Mk geschätzt. Damit ergeben sich etwa folgende monatliche Ausgaben:

<u>Löhne:</u>	720 Stunden	720 Mk
<u>Energie:</u>	Elektr. Kraft 1.500 kWh	45 Mk
	Niederdruckdampf	
	25 t Verluste	95 Mk
	205 t zum Aufwärmen	780 Mk
	Hochdruckdampf	
	600 t zum Überhitzen	180 Mk
<u>Reparaturen:</u>		800 Mk
<u>Amortisation:</u>	15 %	560 Mk
<u>Allgemeine Umläufe:</u>		320 Mk
		3 500 Mk/Monat

≈ 0,49 Mk/m<sup>3</sup> Wasser

#### 2.) Dünnphenolwasser:

20 m<sup>3</sup>/h mit ca 700 mg Phenol/l sind zu entphenolen auf

920

so sehr abweichen kann, dass es nicht möglich und lohnen wird, Wasser  
zu liefern.

Die obige Tabelle zeigt bei gleichem Volumen die Auswirkungen  
der unterschiedlichen Verarbeitung von Kalkstein auf die Leistungsfähigkeit  
des Betons. Es ist zu erkennen, dass die Leistungsfähigkeit des Betons  
nach dem Zerkleinern um ein Vielfaches erhöht wird.

Bei der Zerkleinerung ist zu beachten, dass

die Zerkleinerungskosten pro Kugelmauerstein je nach Größe und  
Zerkleinerungsgrad sehr unterschiedlich ausfallen können.

Die Kosten für die Zerkleinerung sind in der Regel  
um so höher, je größer die Zerkleinerung ist.

Die Kosten für die Zerkleinerung sind in der Regel  
um so höher, je größer die Zerkleinerung ist.

Die Kosten für die Zerkleinerung sind in der Regel  
um so höher, je größer die Zerkleinerung ist.

Die Kosten für die Zerkleinerung sind in der Regel  
um so höher, je größer die Zerkleinerung ist.

Die Kosten für die Zerkleinerung sind in der Regel  
um so höher, je größer die Zerkleinerung ist.

Die Kosten für die Zerkleinerung sind in der Regel  
um so höher, je größer die Zerkleinerung ist.

Die Kosten für die Zerkleinerung sind in der Regel  
um so höher, je größer die Zerkleinerung ist.

Die Kosten für die Zerkleinerung sind in der Regel  
um so höher, je größer die Zerkleinerung ist.

Die Kosten für die Zerkleinerung sind in der Regel  
um so höher, je größer die Zerkleinerung ist.

Die Kosten für die Zerkleinerung sind in der Regel  
um so höher, je größer die Zerkleinerung ist.

Verteilungsplan: Werkleitung,

Herrn Dr. v. Staden

" " Koppe

" Obering. Dr. Strombeck

" " Ulrich

" " Gabel

" " Walder

" " Schnitz

" " Herold

" " Rauschleidt

" Berichtserstellung

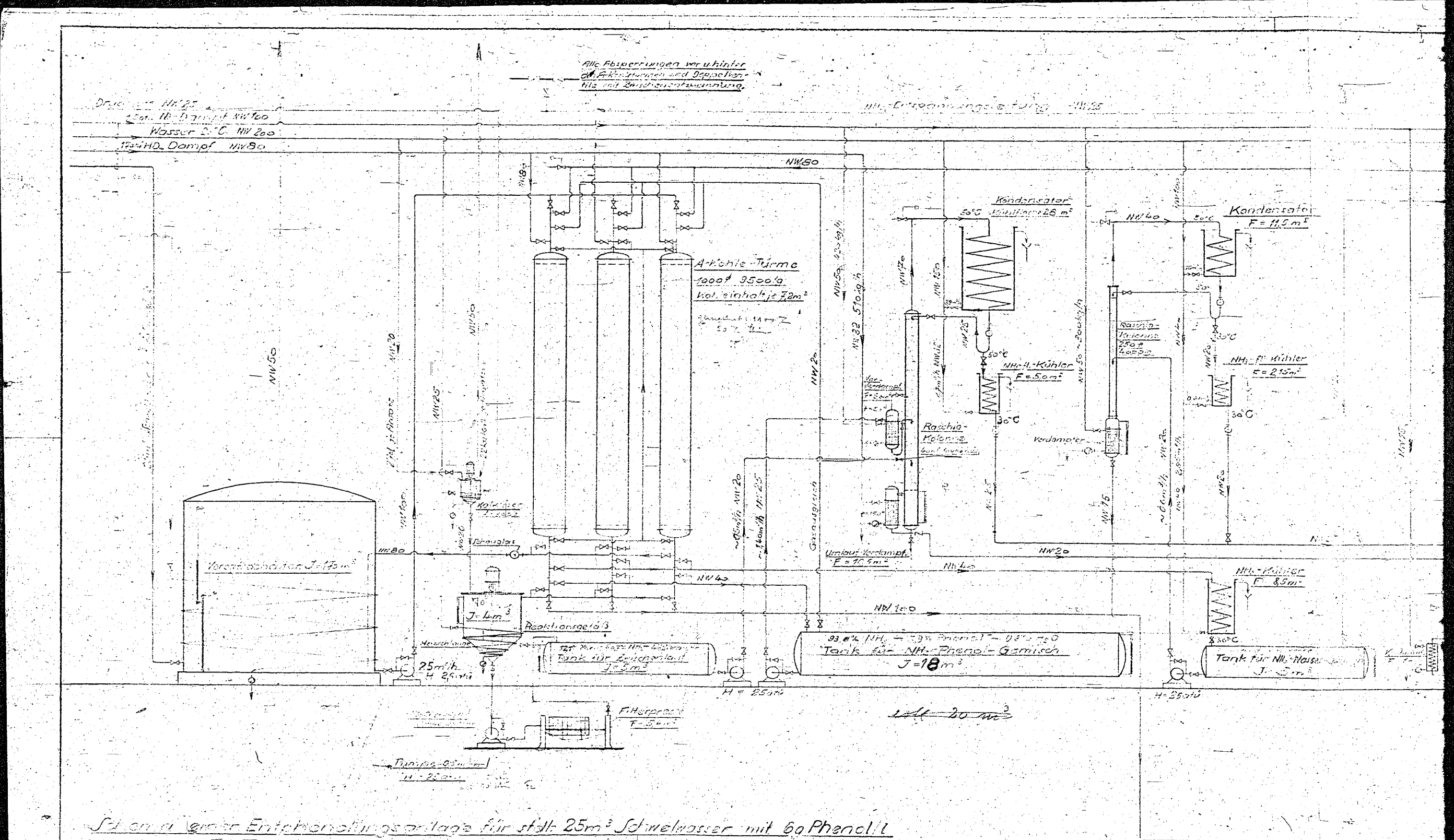
" Entnahmungsbetrieb

820

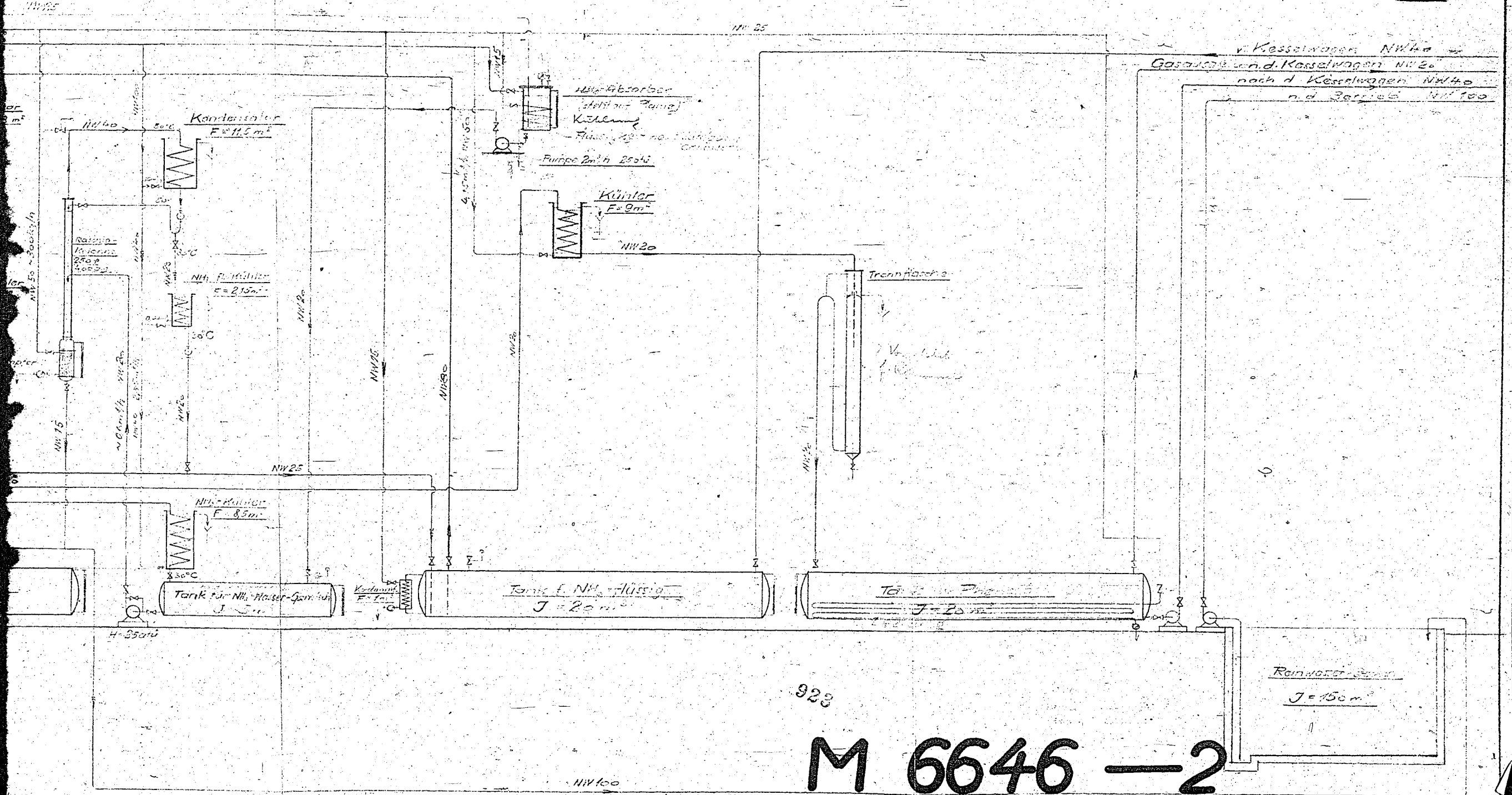
zur Wassergasherstellung etwa 40 t/h Niederdruckdampf verbraucht. Es könnte also wenigstens  $75 \text{ m}^3/\text{h}$  Phenolwasser entphenolt werden. Es sind zur Zeit jedoch nur noch  $20 \text{ m}^3/\text{h}$  Diphenoxywasser unterzubringen.

Das Verfahren ist denkbar einfach, die Betriebskosten betragen  $50 + 40 \text{ Pf/m}^3$  Wasser. Bei  $10 - 20 \text{ m}^3/\text{h}$ , die Anlagekosten ca. 45 000 bzw. 60 000 Mk bei Verwendung vorhandener Materialien und der Voraussetzung, daß die Ergebnisse der Korrosionsversuche die Verwendung ungeschützten Eisens nicht ausschließen.

*Ray*



Kratz



Zurück an  
Vorzimmer Dir. Dr. Pier

(D)

Während der Untersuchung wurde festgestellt, dass die Körnung des abgesetzten Materials nicht gleichmäßig war, sondern aus grobem und feinem Material bestand. Bei einem Versuch wurde eine Mischung aus feinem und feinkörnigem Material untersucht, das aus einem mit 10%iger Kochsalzlösung gesättigten und ausgetrockneten Kalkstein bestand. Das Material bestand aus einer Mischung aus grobem und feinkörnigem Material, das aus einem mit 10%iger Kochsalzlösung gesättigten und ausgetrockneten Kalkstein bestand. Das Material bestand aus einer Mischung aus grobem und feinkörnigem Material, das aus einem mit 10%iger Kochsalzlösung gesättigten und ausgetrockneten Kalkstein bestand. Das Material bestand aus einer Mischung aus grobem und feinkörnigem Material, das aus einem mit 10%iger Kochsalzlösung gesättigten und ausgetrockneten Kalkstein bestand. Das Material bestand aus einer Mischung aus grobem und feinkörnigem Material, das aus einem mit 10%iger Kochsalzlösung gesättigten und ausgetrockneten Kalkstein bestand. Das Material bestand aus einer Mischung aus grobem und feinkörnigem Material, das aus einem mit 10%iger Kochsalzlösung gesättigten und ausgetrockneten Kalkstein bestand. Das Material bestand aus einer Mischung aus grobem und feinkörnigem Material, das aus einem mit 10%iger Kochsalzlösung gesättigten und ausgetrockneten Kalkstein bestand. Das Material bestand aus einer Mischung aus grobem und feinkörnigem Material, das aus einem mit 10%iger Kochsalzlösung gesättigten und ausgetrockneten Kalkstein bestand. Das Material bestand aus einer Mischung aus grobem und feinkörnigem Material, das aus einem mit 10%iger Kochsalzlösung gesättigten und ausgetrockneten Kalkstein bestand. Das Material bestand aus einer Mischung aus grobem und feinkörnigem Material, das aus einem mit 10%iger Kochsalzlösung gesättigten und ausgetrockneten Kalkstein bestand. Das Material bestand aus einer Mischung aus grobem und feinkörnigem Material, das aus einem mit 10%iger Kochsalzlösung gesättigten und ausgetrockneten Kalkstein bestand.

22187

924

300 °C jedoch nur 75 %ig war.

Aus diesen Ergebnissen ergibt sich, daß es mit Hilfe einer Wasserdampftischleröfen normalen Druck unmöglich ist, über ca. 250 °C siedende Keton-10de überzutreiben und so eine Trennung Neutral-  
Stearin möglichst durchzuführen. Andererseits gehen bei einer solchen Wasserdampftischleröfen auch aus einer aliphatischen Lösung unzersetzbare Bestandteile mit über. Die scharfe Zersetzung dieses Rectöles in saure und neutrale Feststoffe ist in einem Arbeitsgang nicht möglich, sondern erfordert eine Wiederaufarbeitung des angewandten Trennverfahrens erforderlich.

Über 616 bei der Zersetzung von RestStearin gewonnenen Anteile soll später berichtet werden.

§ Dr. Ehr.  
H. Hellmann.

Abteilung für  
Wirtschaftlichkeitsprüfung  
Dr. Rö./Sch.  
A.Nr. 564

Leuna-Werke den 4. Dezember 1955

A k t e n n o t i z

Betr.: Aufarbeitung von Kreosotöl S.

Über die Aufarbeitung des bei der Reinigung der Hydrierungsabwässer nach dem Trikresylphosphat-Verfahren anfallenden Kreosotöles S wird in Leuna schon seit längerer Zeit gearbeitet. Zu einer technischen Auswertung der Versuchsergebnisse ist es bisher jedoch nicht gekommen, da für die Produkte zunächst kein unmittelbares Interesse vorlag und die Hydrierung das anfallende Kreosotöl S wieder zurücknahm. Neuerdings ist die Frage der Aufarbeitung von Kreosotöl S jedoch akut geworden, da Troisdorf für die Produkte starkes Interesse zeigt.

Für die Aufarbeitung des Kreosotöles S kommen, soweit es sich z.Zt. übersehen lässt, folgende Verfahren in Betracht:

- 1.) Wärmebehandlung mit Schwefelsäure und Abdestillieren eines Phenol-Kresolgemisches, das durch eine anschließende Wasserdampfbehandlung noch klar laugenlöslich gemacht werden kann.
- 2.) Herausdestillieren der Carbonsäure aus dem Kreosotöl S. Reinigung durch Wärmebehandlung mit Schwefelsäure und nochmaliges Überdestillieren; die anfallende Carbonsäure kann durch Abschleudern noch weiter gereinigt werden.
- 3.) Wärmebehandlung mit Schwefelsäure und Abdestillieren eines Phenol-Kresol-Gemisches, das darauf durch fraktionierte Destillation in Carbonsäure, o-Kresol, m-p-Kresol bzw. o-m-p-Kresol und Xylenol zerlegt wird.

Nachstehend sind für diese einzelnen Fälle die Gestehungskosten errechnet worden, wobei das Kreosotöl S als Einstand in allen Fällen mit RM 0.14 /kg bewertet worden ist. Da Troisdorf von der I.G. zu normalen Verkaufspreisen bezicht. wurde ferner versucht, für die unter 1.) und 2.) genannten Produkte die Verkaufspreise vorauszuschätzen. Die tatsächlichen Verkaufspreise können natürlich erst von der zuständigen Abteilung der Ver-

A
Org.
Hy.
KW.
Ph. Krab

3-6

kaufsgemeinschaft Chemikalien in Frankfurt (wahrscheinlich Abteilung Z) festgesetzt werden.

Welche Mengen Kreosotöl S in Leuna nach Ausbau der Hydrierung anfallen werden, lässt sich z.Zt. noch schwer übersehen. Nachfolgend ist angenommen, dass im Monat etwa 135 t Kreosotöl S mit etwa 15 % sauren Ölen zur Verfügung stehen werden (deren Zusammensetzung vergl. Seite 7).

#### 1) Phenol-Kresolgemisch raffiniert (90 Moto)

##### Arbeitsweise:

Kreosotöl S wird mit etwa 7 Gew.% 50%iger Schwefelsäure im Turbomischer gemischt. Darauf wird aus einer Blase (verbleibt 10m<sup>3</sup> Inhalt, diskontinuierlicher Betrieb) im Vacuum (Dampfkörting) überdestilliert, wobei der Vorlauf getrennt aufgefangen wird. Das Destillat wird in einem zweiten Turbo mit weiteren 3 Gew.% bezogen auf das Ausgangsmaterial ~ 50%iger Schwefelsäure vermischt und darauf in einer zweiten Blase (wie oben, im Vacuum nochmals überdestilliert) wobei als Destillat das Produkt anfällt. Der Vorlauf wird ebenfalls getrennt aufgefangen und mit dem ersten Vorlauf vereint. Ebensee wird der in den beiden Blasen zurückbleibende schwefelsäurehaltige Sumpf abgezogen und zusammengegeben. Es ist angenommen, dass im Monat 23 Chargen der beschriebenen Art gefahren werden. Auf die Spesen erfolgte ein Sicherheitszuschlag von 20 %.

##### Leistung:

Aus 135 Moto Kreosotöl S werden gewonnen 90 Moto Phenol-Kresol-Gemisch raffiniert.

##### Gutschrift:

Von dem Vorlauföl (etwa 9.25 t) werden 90 % ~ 8,3 m<sup>3</sup> RM 0,14/kg gutgeschrieben (geht zum gleichen Preis wie das Einstandsmaterial an die Hydrierung zurück). Der schwefelsäurehaltige Sumpf aus den beiden Blasen (~ etwa 42,5 Moto) ist zur Gutschrift nicht mit herangezogen worden, da soweit z.Zt. zu übersehen ~ eine Rückgabe an die Hydrierung zu dem Preis des Einstan-

des (RM 0,14/kg) kaum in Betracht kommt. Vielleicht kann der Rückstand aber unter dem Kessel verfeuert werden gegebenenfalls nach vorheriger Entfärbung durch Auswaschen mit Wasser; jedoch erscheint auch diese Art der Verwertung z.Zt. noch zu ungewiss um bereits jetzt als Gutschrift eingesetzt werden zu können.

<u>Gestehpreis</u>	RM 252,81,-	1)
<u>Verkaufspreis</u> frei Troisdorf	RM 380,25,-	vgl. Anl. 1)

Für den Fall, dass die Verarbeitung des in Leuna zu fallenden Kreosotöl S in der angegebenen Weise nicht in Leuna sondern in Bitterfeld erfolgt und Bitterfeld das Produkt dann nach Troisdorf schickt würden zu den Bitterfelder Gestehkosten noch folgende zusätzliche Kosten im Monat kommen:

135 t Kreosotöl S		
Fracht Merseburg - Bitterfeld (Tarif F)		RM 405
8,3 t Vorlauf		
Fracht Bitterfeld - Merseburg (Tarif F)		RM 24,90
90 t Phenol Kresolgemisch raff.		
Leuna - Troisdorf 2,78		
Bitterfeld-Troisdorf 2,94		
Frachtdifferenz 16 Rpfg % kg		RM 344
Kesselwagen-Miete, interne Transportkosten		
Rücklauf der Kesselwagen		RM 210
 G e s a m t		RM 785,90

1) In der AWP-Akt.-Notiz Nr. 529 v. 30.8.1935 ist als überschlägiger Gestehpreis 22 Rpfg je kg für das raffinierte Produkt angegeben. Der Unterschied erklärt sich daraus, dass bei der damaligen Schätzung zwar etwas höhere Spesen eingesetzt waren, dass andererseits aber der in den Blasen zurückbleibende Sumpf nach Entfärbung mit 14 Rpfg je kg gutgeschrieben wurde (es war an eine Rückgabe an die Hydrierung gedacht).

Die zusätzlichen Kosten für eine Verarbeitung in Bitterfeld betragen danach mindestens RM 8,32/t (ohne interne Transportkosten Bitterfeld und Unkosten für Füllen und Leeren der Kesselwagen).

B.) Phenol-Kresolgemisch raffiniert laugenlöslich (SI Moto)

Arbeitsweise:

Das gemäss A.) gewonnene Phenol-Kresolgemisch raff. wird mit der gleichen Menge Wasser versetzt (wird als direkter Dampf zugeführt) und das Wasser wird aus dem Gemisch in einer Blase von 1,5 m<sup>3</sup> Inhalt bei Atmosphärendruck und unter Anwendung von 10-fachem Rücklauf (Kolonne) kontinuierlich wieder herausdestilliert. Das überdestillierende Wasser nimmt die Verunreinigungen (wasserunlösliche KW) mit in der Blase zurück bleibt das Produkt (bezw. wird kontinuierlich abgezogen). Es ist die Rechnung zu Grunde gelegt, dass die Destillation 50 Tage im Mittel kontinuierlich durchschlägt. Auf die Spesen erfolgte ein Sicherheitszuschlag von 20%.

Leistungen:

Aus 90 Moto Phenol-Kresolgemisch raff. werden SI Moto Phenol-Kresolgemisch raff. laugenlöslich gewonnen.

Gutschriften:

Von dem mit dem Wasserdampf übergehenen leichten Öl (etwa 9 t trennt sich vom Wasser als eine besondere Schicht ab), werden 90% = 8,1 t gutgeschrieben mit 14 Rpfg je kg. (geht an die Hydrierung zurück).

Gestehungspreis

RM 350,57 pro t

Verkaufspreis

frei Dresden

RM 552,55 pro t

(vgl. Anlage 12)

C.) Carbonsäure raffiniert ungeschleudert (32,5 Moto)

Arbeitsweise:

Aus dem Kreosotöl S wird zunächst die rohe Carbonsäure herabdestilliert. Diese Destillation erfolgt diskontinuierlich im Vacuum aus einer Blase von 12 l Inhalt mit aufgesetzter Kolonne unter Anwendung eines 10 fachen Rücklaufes. Der Vorlauf wird getrennt aufgefangen. Die übergehende rohe Carbonsäure wird im Turbomischer mit etwa 10 Gew-% 50%ige Schwefelsäure vermischt und darauf nochmals aus einer zweiten Blase von etwa 5 l Inhalt im Vacuum im diskontinuierlichen Betrieb ohne Rücklauf über destilliert, wobei als Destillat das Produkt anfällt. Der Vorlauf wird wieder getrennt aufgefangen. Es ist abgenommen, dass im Monat 25 Chargen der beschriebenen Art gefahren werden. Auf die Speise erfolgte ein Sicherheitszuschlag von 20 %.

Leistung:

Aus 135 Moto Kreosotöl S werden gewonnen: 32,5 Moto Carbonsäure raffiniert (ungeschleudert).

Gutschriften:

Von dem anfallenden Vorlauföl (zusammen etwa 8,5 Moto) werden 7,5 l und von dem bei der ersten Destillation in der Blase verbleibenden Rückstand (etwa 38 Moto) werden 80 l zu 14 Rpfg je kg gutgeschrieben (gehen zum Einstandspreis an die Hydrierung zurück).

Gestehpreis

RM 375,50 pro l

Verkaufspreis

frei Troisdorf

RM 596,58 (vgl. Anl. 3)

- 1) In AWF-Akt. Nr. 529 v. 30.8.35 werden auf Grund einer überschlägigen Schätzung 43 Rpfg je kg für das ungeschleuderte und 47 Rpfg je kg für das geschleuderte Produkt angegeben. Der Unterschied erklärt sich daraus, dass bei der damaligen Schätzung mit höheren Energien, mehr Bedienungsleuten und mit einem fortlaufenden Betrieb (von 7 Tagen in der Woche) gerechnet wurde, während jetzt mit einem fortlaufenden Betrieb von nur 5 Tagen in der Woche gerechnet worden ist.

D.) Carbolsäure raffiniert geschleudert (32,5 Moto)

Arbeitsweise:

Wie unter C.) jedoch wird das bei C.) anfallende Produkt abgeschleudert und der sich dabei von der festen Carbolsäure abscheidende flüssige Anteil in die erste Destillationsblase zurückgegeben. Auf die Spesen erfolgte ein Sicherheitszuschlag von 20 %.

Leistung:

Aus 135 Moto Kreosotöl S werden 32,5 Moto Carbolsäure raffiniert (geschleudert) gewonnen.

Gutschriften:

(Die gleichen wie unter C.)

Gastelpreis:

RM. 714,59 pro

Verkaufspreis:

frei Troisdorf RM. 649,08 pro

vergl. Anlage 4

E.) m + p-Kresolgemisch (50 Moto)

F.) o-Kresolgemisch (8,8 Moto)

Arbeitsweise:

Das gemäss A.) anfallende Phenol-Kresolgemisch raffiniert wird durch Fraktionsierung zerlegt in Carbolsäure, o-Kresol, m + p-Kresol bzw. o + m + p-Kresol und Xylenol. Die Fraktionierung erfolgt in doppelkontinuierlichem Betrieb durch Destillation im Vakuum aus einer Blase von etwa 50 l Inhalt unter Anwendung eines 10-fachen Rücklaufes. Der beim Schleudern der Carbolsäure anfallende flüssige Anteil sowie die bei dem Verfahren anfallenden Zwischenläufe werden jeweils zur nächsten Charge gegeben.

C.) Anm. siehe auf Seite 5.

Nach den bisher bei uns vorliegenden Versuchen im halbtechnischen Massstab ist mit der Möglichkeit zu rechnen, dass bei der Trennung in der oben angegebenen Weise sich Schwierigkeiten ergeben. Die nachstehenden Schätzungen können daher nur als rohe Überschlagsrechnung gewertet werden. Da insbesondere nichts darüber bekannt ist, wie gross die Zwischenläufe sein werden und wie oft sie in das Verfahren zurückgegeben werden können, sind bei der Gestehpreis Berechnung alle Ausbeuten und Gutschriften nur mit 90% eingesetzt, während der Rest von 10% als Verlust angenommen ist. Außerdem sind 10% auf die Spesen aufgeschlagen. Es ist angenommen, dass im Monat drei Chargen der beschriebenen Art gefahren werden.

#### Leistung:

Aus 90 Moto Phenol-Kresolgemisch raffiniert mit  
 25 % Carbolsäure  
 16 % o-Kresol  
 37 % m + p-Kresol  
 10 % Xylenol

werden gewonnen:

4,1 Moto	Vorlauf
24,3 Moto	Carbolsäure raff., geschl.
14,6 Moto	o-Kresol
30,0 Moto	m + p-Kresol
6,1 Moto	Xylenol
2,0 Moto	Rückstand,

#### Gutschriften:

Vorlauföl: Da das Vorlauföl noch merkliche Mengen Wasser enthält (Bildung von zwei Schichten), sind von den anfallenden 4,05 Moto nur 2,7 Moto mit 14 Rpfg je kg gutgeschrieben (Rückgabe an die Hydrierung).

Carbolsäure: 24,30 Moto werden mit 50 Rpfg je kg gutgeschrieben (geschätzter Verrechnungspreis; Troisdorf bezahlt z.Zt. an Leverkusen 65 Rpfg je kg ab Werk).

o - Kresol: Dafür liegt z.Zt. keine rechte Verwendung vor. Die Gutschrift der anfallenden 14,58 Moto erfolgt zu 14 Rpfg je kg (Rückgabe an die Hydrierung).

Zylanol: Die anfallenden 6,075 Moto werden zu 15 Rpfg je kg gutgeschrieben. Da es z.Zt. nicht ausgeschlossen ist, scheint, dass ein gewisser Zylanol-Bedarf entsteht, ist der Preis wenigstens um 1 Rpfg je kg höher als der Einstandspreis (14 Rpfg je kg), zu dem das Zylanol wohl noch an die Hydrierung zurückgegeben werden könnte eingesetzt.

Rückstand: 2.025 Moto sind nicht in die Gutschrift einzubeziehen.

Gesteckpreis:

Des m + p. Kresol-Gemisches	RM 433,- pro
des o-m. Kresol-Gemisches	RM 537,- pro
	vgl. Anlage

Anlagen:

Herrn Direktor Dr. Schneider,  
Herrn Direktor Dr. Bödefisch  
Herrn Dr. von Staden  
Herrn Dr. Herold (3)

A. W. P.

933

Abteilung für  
Wirtschaftlichkeitsprüfung

220 → 165 → 150

Leuna Werke, den 4. Dezember 1935.

Anlage 1

Gestehungskosten je t Phenol-Kresolgemisch raff.

Produktion

Febr. Ort: Leuna. Preise: Vorausschätzung 1935

	Einheits- preis RM	s Produkt		
	Mengen	Kosten RM	Preise RM	Summe RM
<u>Rohmaterial</u>				
Kreosotöl S	t	140,-		
H <sub>2</sub> SO <sub>4</sub> 50%ig	kg	2503 5		
Summe des Rohmaterials				213,75
<u>Spesen</u>				
<u>Energien</u>				
Hochdruckdampf	kg	2,26	4,13	2,76
Hochdruckwasser	m <sup>3</sup>	14,50	1,13	
Niederspannung	kWh	8,-	0,24	
Löhne und Gehälter				
Arbeiter je Wechselschicht an den Wochentagen	h	0,90	7,36	
Arbeiterlöhne 52 h/Charge	h	45	3,47	
Lohnzuschlag	%	30	2,21	
Gehälter	z.v.Lohn	26	0,58	
Gehaltszuschlag	%			
Reparaturkosten	z.v.A.K.	15	13,89	
Betriebsmaterial	z.v.Lohn	10	0,74	
Labor u. sonst. Kosten	z.v.Lohn	10	0,74	
Feuerschutz u. Steuer u. z.v.A.K.		1,32	1,22	
Amortisation				
Anl.Kap.RM 100 000,-		10	9,26	
Summe der Spesen				43,30
20% Sicherheitszuschlag				8,66
Gutech. Et. f. Verkaufsf. t	40			12,80
Gestehskosten				252,81
Interne Transportkosten und Kesselwagenmiete			2,40	
Fracht Leuna-Troisdorf und Kesselwagen-Rücklauf			28,43	
Generalunkosten 10% v. RM 268,11			26,81	
Verzinsung des Umlaufkapitals:				
5% v. RM 323,05 für 3 Monate			4,04	
Wänder-, Gemeinde- und Gewerbe- Steuern: 10% der Verzinsung			0,40	63,78
<u>Gesamt</u>				314,59
Gewinnzuschlag 10%			31,46	
Verkaufskosten: 7% v. angenom- menen Verkaufspreis RM 380,-			26,60	
Umsatzsteuer: 3% von RM 380,-			7,60	63,66
Verkaufspreis frei Troisdorf				380,25
			93	

Abteilung für  
Wirtschaftlichkeitsprüfung

Leuna Werke, den 4. Dezember 1935.

Anlage 2.

Gestaltungskosten je t Phenolkresolgemisch-raff. laugelöslich.

Produktion: Fabr. Ort: Leuna. Preise: Vorausschätzung 1935.

	Einheits- preis RM	+ Produkt	
	Mengen	Kosten RM	Summe RM
<u>Rohmaterial</u>			
Phenolkresolgemisch raff.	252,81		312,-
Summe des Rohmaterials			312,-
<u>Spesen</u>			
<u>Energie</u>			
Hochdruckdampf	2,26	42,81	33,45
Hochdruckwasser	90,14,50		9,14
Niederspannung	20,18		0,22
			14,26
<u>Löhne und Gehälter</u>			
Arbeiter je Wechselschicht	0,90		8,-
Arbeiterlöhne	45		3,44
Lohnzuschlag	30		2,40
Schalter	26		0,62
Gehaltzuschlag			4,63
Reparaturkosten	5 v. A.K.		0,80
Betriebsmaterial	5 v. Lohn		0,80
Labor u. sonst. Kosten	10		0,80
Feuerschutz + Steuern	3,52		0,41
Amortisation			3,09
Arl. Kap. RM 30.000	2 v. A.K.		67,-
Summe der Spesen			13,40
20% Sicherheitszuschlag			3,97
Kosten der Entphenolung			34,-
<u>Gesamtkosten</u>			380,37
<u>Gestehskosten</u>			
Interne Transportkosten und Kesselwagen-Leihgebühren		2,40	
Fracht Leuna-Troisdorf und Kesselwagen-Rücklauf		28,13	
Generalunkosten: 10% v. RM 396,77		39,68	
Verzinsung des Umlaufkapitals: 5% v. RM 464,58 für 3 Monate		5,81	
Gülden-, Gemeinde- und Gewerbe- Steuern: 10% der Verzinsung		0,58	76,60
<u>Gesamt</u>			456,97
<u>Gewinnzuschlag: 10%</u>		45,70	
Verkaufskosten: 7% v. angenom- menen Verkaufspreis v. RM 552,-		38,62	
Umsatzsteuer: 2% von RM 552,-		11,04	95,36
<u>Verkaufspreis frei Troisdorf</u>			552,35

935

Abteilung  
Wirtschaftlichkeitsprüfung

Leuna Werke, den 4 Dezember 1935

Anlage 3

Gestehungskosten je t Gurbolsenwurmfanggeschleuder

Produktion: Fabr. Ört: Leuna Preis: Vorausschätzung 1935.

	Einheits- preiss FM	t Produkt	
	Mengen	Kosten FM	Summe FM
Rohmaterial			
Kreosotöl S	140,-	581,60	
H <sub>2</sub> SO <sub>4</sub> 50% g	2503,5,-	2.82	
Summe des Rohmaterials			584,42
Spesen			
Energie			
Hochdruckdampf	2,26	21,27	
Hochdruckwasser	14,50	16,69	
Niederdruckwasser	8,50	3,12	
Niederspannung	0,88	0,79	
Löhne und Gehälter			
Arbeiterlöhne	0,90	25,45	
Lohnzuschlag	43	10,95	
Gehälter	30	7,64	
Gehaltszuschlag	26	1,99	
Reparaturkosten	35	38,50	
Betriebsmaterial	2 v. Lohn	2,55	
Arbeits u. sonst. Kosten	2 v. Lohn	2,55	
Feuerschutz u. Steuern	3,32	3,39	
Amortisation			
Anl. Kap. FM 100 000,-	2 v. A.K.	10	25,65
Summe der Spesen			139,94
20% Sicherheitszuschlag			27,99
Geschriftl. F. Rückstand	140,-	2.460	344,50
u. Verkauf	140,-	0,250	32,30
Gestehungskosten			375,55
Interne Transportkosten und Kesselwagen-Leihgebühren			2,40
Fracht Leuna-Troisdorf und Kesselwagen-Rückfracht			28,33
Generalunkosten: 10% v. FM 754,75			75,48
Verzinsung des Umlaufkapitals: 5% v. FM 858,36 für 3 Monate			10,73
Länder-, Gemeinde- und Gewerbe- Steuern: 10% der Verzinsung			1,07
Gesamt			493,36
Gewinnzuschlag: 10%			49,34
Verkaufskosten: 7% v. angenom- menen Verkaufspreis v. FM 596,-			41,75
Umsatztaxe: 2% von FM 596,-			11,93
Verkaufspreis frei Troisdorf			596,38

936

Abteilung für  
Wirtschaftlichkeitsprüfung

Leuna-Werke, den 4. Dezember 1935.

Anlagen 4

Gestaltungskosten je t Carbolicure-raff. geschländere.

Produktion	Fabr. Ort: Leuna	Preise: Vorausschätzung 1935.			
		Einheits- preise RM	Mengen	+ Produkt	
				Kosten RM	Summe RM
Rohmaterial					
Kreosotöl S 135 - Moto	kg	140		581,60	
H <sub>2</sub> SO <sub>4</sub> 50%ig	kg	145		4,82	
Summe des Rohmaterials					584,42
Spesen					
Energie					
Hochdruckdampf	m³	2,26		26,65	
Hochdruckwasser	m³	4,50		20,18	
Niederdruckwasser	m³	8,50		4,02	
Niederspannung	kWh	18,		0,79	
Löhne und Gehälter					55,32
Arbeiter in Wechselschicht					
Arbeiterlöhne (25 Tage)	h	0,90		30,60	
Lohnzuschlag	%	43		13,15	
Gehälter	% v. Lohn	30		9,18	
Gehaltzzuschlag	%	26		2,39	
Benzinverbrauch	% v. A.K.	18		66,10	
Betriebsmittel	% v. Lohn	10		3,06	
Bahnhofszins-Kosten	% v. Lohn	10		3,06	
Feuerschutz u. Steuer	% v. A.K.	1,34		4,23	
Amt. Kap. RM 125.000,- % v. A.K.		10		32,05	
Summe der Spesen					172,47
Alles Sicherheitszuschlag					34,50
Gutschrift f. Rücksendung	kg	200		2,16	432,00
Verluste	kg	30		0,25	7,50
Gestaltungskosten					414,52
Interne Transportkosten und Kesseltwagenmiete					2,40
Fracht Leuna-Troisdorf und Kesseltwagen-Rückfracht					28,13
Generalunkosten: 10% v. RM 793,79					79,38
Vorzinsung des Umlaufkapitals: 5% v. RM 801,30 f. 3 Monate					11,26
Länder-, Gemeinde- und Gewerbe-Steuern: 10% der Verzinsung					1,13
Gesamt					536,89
Gewinnzuschlag: 10%					53,69
Verkaufskosten: 1/2 v. angenommenen Verkaufspreis v. RM 650,-					45,50
Umsatzsteuer: 2% von RM 650,-					13,-
Verkaufspreis Netto Troisdorf					649,08

Abteilung für  
Wirtschaftlichkeitsprüfung

Leuna Werke, den 4. Dezember 1935.

Anlage 5.

Gestehungskosten für

m- + p-Kresol

und

o- + m- + p-Kresol

Fabrikationsort: Leuna.

Preise: Vorausschätzung 1935.

Produktion	Menge	m- + p-Kresol		o- + m- + p-Kresol	
		Einheitspreis FM	Monat Mengen	Kosten FM	Monat Mengen
<u>Rohmaterial</u>					
Kresolphenolgemisch raff.	252,8		22 750,-		
Summe des Rohmaterials			22 750,-		22 750,-
<u>Spesen</u>					
<u>Energie</u>					
Hochdruckdampf	2,26		1 254,-		
Hochdruckwasser	14,50		994,-		
Niederdruckwasser	8,50		217,50		
			42,50		
<u>Löhne und Gehälter</u>					
Arbeiterlöhne	0,90		1 562,-		
Lohnzuschlag	43		861,-		
Gehälter	30		379,-		
Gehaltzuschlag	26		259,-		
			67,-		
<u>Reparaturkosten</u>					
Reparaturkosten	15		1 250,-		
<u>Betriebsmaterial</u>					
Lab. u. sonst. Kosten	10		86,40		
Emersch. u. Steuern	1,52		86,40		
<u>Amortisation</u>					
Anl. Kap. FM 100 000,-	10		110,-		
Summe der Spesen			835,-		
10% Spezialzuschlag			5 181,80		5 181,80
			518,20		518,20
<u>Gesamtkosten</u> FM/Monat					
<u>Gutschriften</u>					
Vorlauf	140,-	2,70	378,-	2,7	376,-
p-Kresol	140,-	14,58	2 041,-		
Carclossure	500,-	24,30	12 150,-	24,30	12 150,-
Xylenole	250,-	6,075	912,-	6,075	911,-
Summe der Gutschriften			15 480,-		15 439,-
<u>Gesamtkosten</u> FM/Monat					
FM/t Produkt					
			12 970,-		15 011,-
			432,77		336,95

Index to Microfilms of Dr. M. Pier

	<u>Pages</u>
IX Diesel Oil	Pages
Higher Flash Point Diesel Oil	1 - 11
X Economics	
Cost of aviation gasoline from Pitch. Complete cost breakdown	12 - 28
Estimates of costs of aviation gasoline from Rumanian oil in Pölitz	29 - 37
XI Fischer-Tropsch	
State of the Synal Process in June 1941	38 - 42
Synthesis with Iron Catalysts	43 - 44
Patents for production of hydrocarbon fluids from gaseous carbon compounds	45 - 49
Organic materials in the product liquor of the foam process	50 - 51
Equilibria in Fischer-Tropsch	52 - 53
Operating Report of a small plate foam converter in the Fischer Tropsch process	54 - 59
The alcohol synthesis. Discussion	60 - 62
Running the Synthesis to Alcohols, Fatty Acids and Sulfonates	63 - 64
The state of the Fischer Tropsch art, July 1941 Same Jan. 1942	65 - 82
Replacing Cobalt by Iron	83 - 93
Alcohol Synthesis from CO : H <sub>2</sub> by means of the hot gas recirculation process	94 - 97
Settling of finely divided Catalyst on the Converter wall in the Foam process	98 - 103
Synthetic oil experiments, Feb. 1942	104 - 105
State of CO - H <sub>2</sub> Synthesis in April 1941	106 - 109
XII Fuel Evaluation	
Report on Exchange of Experience on Inspection of Aviation Gasoline	110 - 113
Knock-limit curves	114 - 125
Remarks of From Herz on the calculation of overload curves	126 - 128

-2-

XII Fuel Evaluation

Pages

Discussion concerning quality of aviation Gasoline	129 - 134
Lead Susceptibility of CV <sub>2</sub> b	135 - 139
Octane number of very low endpoint gasoline	140 - 141
Knock curves of alcohol-gasoline mixtures	142 - 147
Comparison between the Knock Limit Curves ((Oppau Method) with the Overload Curve (DVL Method)	148 - 155
A specification for aviation gasoline	156 - 157
Knock tests with aromatic mixtures	158 - 167

XIV General

Difference between various methods of "upgrading" (i.e. to oils of higher value)	168 - 179
On Destructive Hydrogenation (Russian article by P.W. PUTSCHKOW)	180 - 215
Theory of the Ammonia Catalysts. Work of the I.G.	216 - 223
Bauxite residues of the Al <sub>2</sub> O <sub>3</sub> preparation	224 - 226
Drying of coal in Belgium	227 - 228
Briquetting with hydrogenation residues	229
Avoiding employment of people with foreign affiliations	230

XV Instrumentation

Brief summary of High Pressure Instrumentation applications	231 - 232
Use of H and B regulators for temperature control	233 - 236

XVI Liquid Phase Hydrogenation

Decreasing the Preheater Load	237 - 239
Paste Exchange	240 - 242
Installing Carbonization Plants in Connection with Hydro Plants	243 - 244
Adding very hot hydrogen to Moderately heated paste before Hydrogenation	245 - 247
Research Report. Running Silesian Coal K1160 to Gasoline and Middle Oil at 600 Atm. in 10 liter Converter.	248 - 273

XVI Liquid Phase Hydrogenation

	<u>Pages</u>
On the Chemical Composition of Preheater Incrustation	274 - 276
Decreasing the Liquid Phase preheater load	277 - 287
Research Report. Running Silesian Coal Kl197 to Gasoline and Middle Oil at 600 atm	288 - 379
Possible substitutes for NH <sub>4</sub> Cl in hydrogenating Ruhr Coal	380 - 382
Exchange of experience on use of a fifth converter	383 - 385
Applying small scale results to hydrogenation of Upper Silesian Coal at Blechhammer	386 - 389
Use of a tin - containing dust as Catalyst	390 - 391
Occurance of a Caviar like formation in #1 Converter during the large scale work on Fuel Oil Production	392 - 394
Means of Producing Fuel Oil	395 - 397
Research Report. Running Scholven Coal with Chlorine added in various ways Tin Oxalate, to Gasoline and Middle Oil in 10. liter Converter	398 - 444
Research with Rhenish Brown coal in one liter Converter. Neutralization of Coal and Settling Operations	445 - 448
Caviar formation	449 - 450
Autoclave work on Scholven Coal	451 - 452
Autoclave work on upper Silesian Coal	453 - 455
Caviar formation from Rhenish Brown Coal in 10 liter Converter	456 - 461
How Compositions of products vary with Nature of operations in bituminous coal hydrogenation	462 - 464
Comparative hydrogenability of various kinds of coal	465 - 467
Liquid phase catalysts	468 - 471
Autoclave work on Puertellano Coal	472 - 476
Table. Results of large Pilot Plant work to produce Gasoline and varying amounts of fuel oil	477
Autoclave work on Brux Tar	478 - 483
Running bituminous coal and bituminous coal high temperature tar	484 - 505

XVI Liquid Phase Hydrogenation

Pages

Research Report. Running Silesian Coal K1174 to an excess of heavy oil at 600 atm in 10 liter converter	506 - 536
Previous results on hydrogenation with elementary sulfur on various raw materials	537
H.O.L.D. filtration research with several solvent additives	538 - 539
Reports on Kipp filter research with TTH separator residue	540 - 559
Report on Revolving Filter Research with TTH separator residue	560 - 571
Hydrogenation of old coals	572
TTH treatment of Deuben Carbonization Tar	573 - 578
Running old Gelsenberg coal to gasoline and middle oil at 600 atm	579 - 593
Research report. Running German crude in 10 liter converter	594 - 628
Operation exchange of experience	629 - 643
Gasification when running silesian bituminous coal and tar therefrom to heavy oil at 600 atm	644 - 645
Substituting NH <sub>4</sub> Cl with Scholven Coal. (Autoclave work at 350 atm)	646 - 648
Fuel Oil discussion (Gelsenberg 1942)	649 - 652
Cold paste injection at Scholven	653 - 654
Comparison of HOLD tests	655 - 657
Fuel oil and electrode coke	658 - 661
Liquid phase treatment of HOLD at 600 atm	662 - 665
Saving Mo in the liquid phase	666 - 668
Scholven Coal at 600 atm with iron and chlorine catalyst	669 - 671
Research report. Addition of Na <sub>2</sub> S in bituminous coal hydrogenation	672 - 699
Research report. Running Silesian Coal pasted with tar from Silesian Coal to a low excess of heavy oil at 600 atm in 10 liter converter	700 - 720

XVI Liquid Phase Hydrogenation

Pages

Table showing liquid phase. LPG distribution when running Silesian coal to heavy oil excess	721 - 722
Iron-grude catalysts at various temperatures	723 - 725
Processing C - rich bituminous coal	726
Coal as catalyst in hydrogenation of pitch-tar mixtures (autoclave work)	727 - 729
Catalyst research for pitch-tar mixture	730 - 731
Extraction of Primary bitumen depending on the age of the coal	732 - 734
Coal extraction discussion at Ruhrol	735 - 737
Investigation of Solvent extraction at Lutzkendorf	738 - 741
Investigation of the Phenol extraction outfit at Lutzkendorf	742 - 771
Extraction research in autoclaves for production of primary bitumen	772 - 781
X-ray investigation of Caviar	782
Filter research in 1937	783 - 788
Further Results of Filter research of hydrogenation residues	789 - 790
Use of hydrogenation pitch as a briquetting material for bituminous coal	791 - 797
Running bituminous coal and carbonization tar to briquetting material and asphalt free oil	798 - 840
Blechhammer briquetting research	841 - 842
Coking hydrogenation residues in mixture with coal in loose condition	843 - 855
Group analyses of Abschlamm	856 - 877
Liquid phase catalyst tests in rotating autoclaves	878 - 883
H.O.L.D. heat exchange	884 - 896
XVII Liquor Treatment	
Research to recover phenols from waste waters of hydro plants thru use of steam	897 - 923
Processing residue oil from liquor treatment	924 - 925
Working up the Creosote oil obtained from the tri-cresyl-phosphate liquor process	926 - 938

T. O. M.

B.

**END**

**REEL**

**M. 38**

252